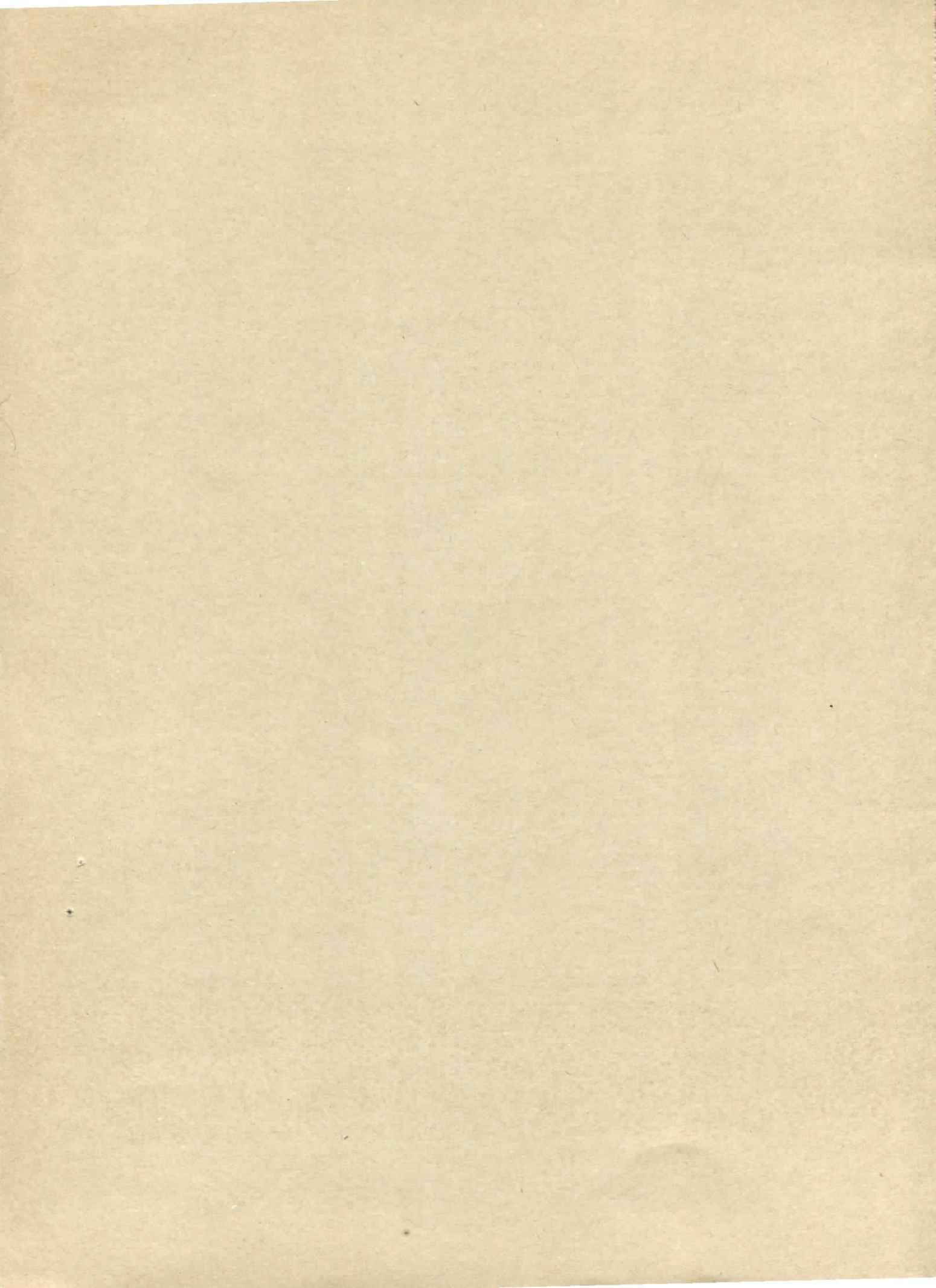
Interner Bericht DESY H5-70/7 Dezember 1970

> DESY. Bibliothek 28. JAN. 1971

Strahlaufweitung
und Erhöhung der Luminositätsgrenze
des Amman-Ritson-Effektes
durch Kopplung und Entdämpfung der Betatronschwingungen

von

G. Ripken



Abstract:

In the following we describe a method for blowing up the beam cross section in a storage ring by coupling the betatron oscillations and damping the synchrotron oscillations.

It is shown that in the case of resonance

$$Q_z - Q_x \approx integer number$$

the vertical beam expansion is increasing and the horizontal expansion decreasing if a coupling of the betatron oscillations is introduced.

In connection with coupling a further enlargement of the beam cross section in the x-direction as well as in the z-direction occurs by damping the synchrotron oscillations.

A rotation of the beam at the crossing points generated by coupling, which could give rise to an additional coupling, does not appear if

- 1.) $Q_z Q_x$ is an odd number;
- 2.) the rotated quadrupole which produces the coupling is just in the middle between the interaction sections.

The expansion of the beam cross section leads to

- 1.) a balancing of the wrong vertical and the relatively small horizontal space-charge forces and
- 2.) a weakening of the space-charge forces.

In this way the limit of luminositiy due to the space-charge effect is raised up.

Equations to determine the beam cross section and the Q-shifting induced by the beam-beam interaction are derived and evaluated numerically for the case of the DESY Storage Ring.

lnhal<u>t</u>:

I.	Einführung	und	Problemstellung
----	------------	-----	-----------------

- II. Die allgemeinen Bestimmungsgleichungen des Strahlquerschnitts und des Amman-Ritson-Effektes für eine gekoppelte Maschine
- III. Die Eigenvektoren der Umlaufsmatrix bei Kopplung der Betatronschwingungen durch einen gedrehten Quadrupol
- IV. Strahlaufweitung durch Kopplung
 - A) Strahlquerschnitt im allgemeinen Fall (Q_x , Q_z beliebig)
 - B) Allgemeine Forderungen für die Strahlaufweitung
 - C) Die Resonanzbedingung
 - D) Strahlquerschnitt im Resonanzfall
- V. Amman-Ritson-Effekt bei Kopplung
 - A) Q-Verschiebung
 - B) Abschätzung der von den Raumladungskräften herrührenden Kopplung
- VI. Strahlaufweitung durch Verschiebung der Dämpfungskonstanten
 - A) Die Dämpfungskonstanten für Synchrotron- und Betatronschwingung
 - B) Berechnung des Strahlquerschnitts
 - C) Q-Verschiebung

I. Einführung und Problemstellung

In der vorliegenden Arbeit soll im Hinblick auf eine Anhebung der zum Amman-Ritson-Effekt gehörigen Luminositätsgrenze ein Verfahren angegeben werden, durch Kopplung der Betatronschwingungen, verbunden mit einer Verschiebung der Dämpfungskonstanten für Betatron- und Synchrotronschwingungen, den Strahl in den Wechselwirkungszonen wesentlich aufzuweiten.

Zunächst betrachten wir die Kopplung allein, und zwar wird untersucht, wie mit Hilfe eines gedrehten Quadrupols, der eine Kopplung der Betatronschwingung hervorruft, der Strahlquerschnitt verändert werden kann derart, daß der Strahl sich in vertikaler Richtung ausdehnt auf Kosten seiner im Vergleich zur Strahlhöhe großen Strahlbreite.

Eine solche Deformation des Strahlquerschnitts hat zur Folge, daß in den Wechsel-wirkungszonen ein Ausgleich zwischen den starken vertikalen und relativ schwachen horizontalen Raumladungskräften geschaffen wird.

Ein Maß für die Stärke der Raumladungskräfte ist die durch den Amman-Ritson-Effekt verursachte Q-Verschiebung, die erfahrungsgemäß in x- und z-Richtung kleiner als 0,025 ausfallen muß, wenn der Strahl stabil bleiben soll. Eine Strahlaufweitung in z-Richtung durch Kopplung wird sich somit darin äußern, daß bei konstant gehaltener Stromstärke I des Strahls eine Angleichung der Q-Verschiebung $\Lambda Q_{\rm I}$ und $\Lambda Q_{\rm II}$ für beide Schwingungsformen stattfindet in der Weise, daß die kleinere Verschiebung anwächst, die stärkere dagegen abnimmt, und infolgedessen die durch den Amman-Ritson-Effekt bedingte Luminositätsgrenze insgesamt heraufgesetzt wird. Die günstigste Verteilung der Raumladungskräfte, bei der beide Schwingungsformen durch die Strahl-Strahl-Wechselwirkung im richtigen Verhältnis zur Fokussierungskraft beansprucht werden, ist genau dann erreicht, wenn $\Delta Q_{\rm II}$ gleich große Werte annehmen.

Unsere Aufgabe muß demnach sein, zunächst die beim Einschalten der Kopplung neu sich einstellende Q-Verschiebung und die damit verbundene Verschiebung der Luminositätsgrenze zu ermitteln sowie allgemeine Bedingungen für die Kopplungsstärke und die Maschinenparameter anzugeben, die erfüllt sein müssen, wenn die Luminosität merklich gesteigert werden soll.

Im Anschluß an die Untersuchung der Strahlaufweitung durch Kopplung soll dann noch anhand der allgemeinen Bestimmungsgleichungen für den Strahlquerschnitt gezeigt werden, daß man eine weitere Vergrößerung der Strahlausdehnung erzielen kann, und zwar bei Einschaltung der Kopplung in x- und z-Richtung zugleich, indem man die Betatronschwingungen durch Einbau eines FODO-Kanals entdämpft unter gleichzeitiger Dämpfung der Synchrotronschwingung (1). Diese zusätzliche Aufweitung des Strahls aufgrund einer Verschiebung der Dämpfungskonstanten ist lediglich durch die Größe der Vakuumkammer begrenzt und bewirkt, daß die Raumladungskräfte nochmals abgeschwächt werden, diesmal sowohl in x- als auch in z-Richtung, so daß eine weitere Steigerung der Luminositätsgrenze des Raumladungseffektes eintritt.

Von Bedeutung ist die Strahlaufweitung für den bei DESY geplanten Storage Ring insbesondere im Energiebereich

E 2 GeV,

wo die Lebensdauer des Strahls im wesentlichen gerade durch den Amman-Ritson-Effekt bestimmt wird.

II. Die allgemeinen Bestimmungsgleichungen des Strahlquerschnittes und des Amman-Ritson-Effektes für eine gekoppelte Maschine

Zur Berechnung der Strahlaufweitung und der Verschiebung der Luminositätsgrenze des Raumladungseffektes bei Kopplung gehen wir aus von den allgemeinen Bestimmungsgleichungen des Strahlquerschnitts und des Amman-Ritson-Effektes für eine "gekoppelte" Maschine (2),(3),(4).

Bezeichnet man die Eigenvektoren der Umlaufsmatrix ${\mathcal M}$ (s + C, s) (C = Bahnumfang) mit

wobei die Normierungsbedingungen

(2.2)
$$\frac{1}{2i} \quad w_{i}^{+} \quad \mathcal{T} \quad w_{i}^{-} = 1 \quad ;$$

$$\frac{1}{2i} \quad w_{i}^{+} \quad \mathcal{T} \quad w_{i}^{-} = 1 \quad ;$$

$$= \begin{pmatrix} 0 & -1 & 0 & 0 \\ 1 & 0 & 0 & 0 \\ 0 & 0 & 0 & -1 \\ 0 & 0 & 1 & 0 \end{pmatrix}$$

erfüllt sein sollen, so gelten folgende Gleichungen:

Dämpfungskonstante für die Synchrotronschwingung:

(2.3)
$$c_s = \frac{\overline{W}}{E \cdot \langle \mathcal{H}^i \rangle} \left\{ \langle \mathcal{H}^i \rangle + \frac{1}{2} \cdot \langle \mathcal{H}^i (C_x D_x + C_x D_x) \rangle \right\}$$

mit

$$C_{x} = K_{x} (1 - 2n_{x});$$

$$(2.4)$$

$$C_{z} = K_{z} (1 - 2n_{z});$$

(2.5)
$$K^2 = K_y^2 + K_z^2$$
;

(2.6)
$$\overline{W} = \frac{2}{3} r_e c \gamma^3 E \cdot \langle \mathbf{k}^2 \rangle ;$$

$$n_i = Feldindex ; (i = x, z)$$

K_i = Krümmung;

D; = Dispersion;

E = Teilchenenergie

W = mittlerer Energieverlust für ein Teilchen

Dämpfungskonstanten für die Betatronschwingung:

(2.7)
$$\alpha_{n} = \frac{\overline{\nu}}{2E \cdot \langle k^{2} \rangle} \cdot \langle k^{2} \rangle + \int_{k}^{2} \left(1 + \int_{m} \left\{ (C_{k} v_{n1}^{*} + C_{k} v_{n3}^{*}) + (D_{k} v_{n2} - D_{k}^{*} v_{n3} + (D_{k} v_{n3} - D_{k}^{*} v_{n3}) \right\} \right) + D_{k}^{*} v_{n4} - D_{k}^{*} v_{n3} \rangle \} \rangle ;$$

Emittanzen:

(2.8)
$$\mathcal{E}_{\mathbf{I}} = \frac{\mathcal{F}_{\mathbf{I}}}{d_{\mathbf{I}}} ; \quad \mathcal{E}_{\mathbf{I}} = \frac{\mathcal{F}_{\mathbf{I}}}{d_{\mathbf{I}}}$$

mit (n = I, II)

(2.10)
$$\vec{Q}_s = \frac{55}{24\sqrt{3}} r_e c^2 t j^6 E \cdot \langle |\chi^3| \rangle$$

Mittlere Strahlausdehnung in x- und z-Richtung:

(2.11)
$$\sigma_{x}^{2} = \varepsilon_{\underline{1}} \cdot |v_{\underline{1}}(s)|^{2} + \varepsilon_{\underline{n}} \cdot |v_{\underline{n}}(s)|^{2};$$

$$\sigma_{\underline{1}}^{2} = \varepsilon_{\underline{1}} \cdot |v_{\underline{1}3}(s)|^{2} + \varepsilon_{\underline{n}} \cdot |v_{\underline{n}3}(s)|^{2}.$$

Halbachsen des elliptischen Strahlquerschnitts:

$$(2.12) \qquad \qquad \frac{4}{2} \left\{ \left[c_{x}^{2} + c_{z}^{2} \right] : \left[c_{x}^{2} - c_{z}^{2} \right] \cdot \sqrt{1 + \frac{4 c_{xx}^{2}}{\left[c_{x}^{2} - c_{z}^{2} \right]^{2}}} \right\}$$

mit

(2.13)
$$\sigma_{xz} = \varepsilon_{I} \cdot \Re \left\{ v_{Ix} v_{Ix}^{A} \right\} + \varepsilon_{I} \cdot \Re \left\{ v_{Ix} v_{Ix}^{A} \right\};$$

Drehwinkel des Strahls:

(2.14)
$$t_{3} = \frac{1 c_{x,2}}{c_{x}^{2} - c_{z}^{2}}$$

$$m = \frac{1 c_{x,2}}{\sqrt{\left[c_{x}^{2} - c_{z}^{2}\right]^{2} + 4 c_{x,z}^{2}}}$$

Q-Verschiebung durch die Raumladungskräfte in der Wechselwirkungszone:

(2.15)
$$\Delta U_{n} = \frac{1}{4n} \left\{ \left[h_{1} \cos^{2} \theta + h_{2} \sin^{2} \theta \right] \cdot \left[v_{n1} \right]^{2} + \left[h_{1} \sin^{2} \theta + h_{2} \cos^{2} \theta \right] \cdot \left[v_{n3} \right]^{2} + \left[h_{1} \sin^{2} \theta + h_{2} \cos^{2} \theta \right] \cdot \left[v_{n3} \right]^{2} + \left[h_{1} \sin^{2} \theta + h_{2} \cos^{2} \theta \right] \cdot \left[v_{n3} \right]^{2} \right]$$

$$+ \left[\left[h_{1} \cos^{2} \theta + h_{2} \cos^{2} \theta \right] \cdot \left[v_{n3} \right]^{2} + \left[h_{1} - h_{2} \right] \sin^{2} \theta \right]$$

$$+ \left[\left[h_{1} \cos^{2} \theta + h_{2} \cos^{2} \theta \right] \cdot \left[v_{n3} \right]^{2} + \left[\left[h_{1} - h_{2} \right] \sin^{2} \theta \right] \right]$$

$$+ \left[\left[h_{1} \cos^{2} \theta + h_{2} \cos^{2} \theta \right] \cdot \left[\left[v_{n3} \right] \right]^{2} + \left[\left[h_{1} - h_{2} \right] \sin^{2} \theta \right]$$

$$+ \left[\left[h_{1} \cos^{2} \theta + h_{2} \cos^{2} \theta \right] \cdot \left[\left[v_{n3} \right] \right]^{2} + \left[\left[h_{1} - h_{2} \right] \sin^{2} \theta \right]$$

$$+ \left[\left[h_{1} \cos^{2} \theta + h_{2} \cos^{2} \theta \right] \cdot \left[\left[v_{n3} \right] \right]^{2} + \left[\left[h_{1} - h_{2} \right] \sin^{2} \theta \right]$$

$$+ \left[\left[h_{1} \cos^{2} \theta + h_{2} \cos^{2} \theta \right] \cdot \left[\left[v_{n3} \right] \right]^{2} + \left[\left[h_{1} - h_{2} \right] \sin^{2} \theta \right]$$

$$+ \left[\left[h_{1} \cos^{2} \theta + h_{2} \cos^{2} \theta \right] \cdot \left[\left[v_{n3} \right] \right]^{2} + \left[\left[h_{1} - h_{2} \right] \sin^{2} \theta \right]$$

$$+ \left[\left[h_{1} \cos^{2} \theta + h_{2} \cos^{2} \theta \right] \right] \cdot \left[\left[v_{n3} \right] \right]^{2} + \left[\left[h_{1} \cos^{2} \theta + h_{2} \cos^{2} \theta \right]$$

$$+ \left[\left[h_{1} \cos^{2} \theta + h_{2} \cos^{2} \theta \right] \right] \cdot \left[\left[v_{n3} \cos^{2} \theta + h_{2} \cos^{2} \theta \right]$$

$$+ \left[\left[h_{1} \cos^{2} \theta + h_{2} \cos^{2} \theta + h_{2} \cos^{2} \theta \right] \right] \cdot \left[\left[v_{n3} \cos^{2} \theta + h_{2} \cos^{2} \theta \right]$$

mit

(2.16)
$$h_{1} = h_{2} = \frac{2 + N}{4 + (c_{1} + c_{2})},$$

$$N = \text{Teilchenzahl};$$

$$4 = \text{Bunchzahl};$$

(der Kreuzungswinkel ist in (2.16) vernachlässigt worden).

Bedenken wir, daß für den DESY Storage Ring die Beziehungen

$$K_{z} \cdot D_{x} = K_{x} \cdot D_{z} = 0;$$

$$K_{z} \cdot D_{x}^{\dagger} = K_{x} \cdot D_{z}^{\dagger} = 0;$$

$$D_{x} \cdot D_{z} = 0;$$

$$D_{x} \cdot D_{z}^{\dagger} = D_{z} \cdot D_{x}^{\dagger} = 0;$$

$$D_{x}^{\dagger} \cdot D_{z}^{\dagger} = 0;$$

$$K_{x} \cdot K_{z} = 0$$

bestehen, so vereinfachen sich die Gleichungen (2.3), (2.7) und (2.9) noch zu

(2.3a)
$$\dot{\alpha}_{s} = \frac{\overline{W}}{F_{s} \langle \mathcal{H}^{2} \rangle} \cdot \left\{ \langle \mathcal{H}^{2} \rangle + \frac{1}{2} \mathcal{H}_{s} + \frac{1}{2} \mathcal{H}_{s} \right\}$$

mit

(2.7a)
$$\mathcal{L}_{n} = \frac{\overline{\mathbf{w}}}{2 \, \mathbf{E} \cdot \langle \, \mathbf{x}^{\ell} \rangle} \cdot \left\{ \langle \, \mathbf{x}^{\ell} \rangle + \langle \, \mathbf{x}_{x}^{3} \, (1 - 2 \, \mathbf{n}_{x}) \, \mathbf{D}_{x} \, \, \mathbf{x}_{x}^{5} \, \mathbf{v}_{n_{1}}^{5} \, \mathbf{v}_{n_{1}}^{5}$$

$$(2.9a) \qquad \frac{Q_{5}}{4 E^{2} | \langle 1 | \chi^{3} | \rangle} = \frac{Q_{5}}{4 E^{2} | \langle 1 | \chi^{3} | \rangle} = \frac{Q_{5}}{4 E^{2} | \langle 1 | \chi^{3} | \rangle} = \frac{Q_{5}}{4 E^{2} | \langle 1 | \chi^{3} | \rangle} = \frac{Q_{5}}{4 E^{2} | \langle 1 | \chi^{3} | \rangle} = \frac{Q_{5}}{4 E^{2} | \langle 1 | \chi^{3} | \rangle} = \frac{Q_{5}}{4 E^{2} | \langle 1 | \chi^{3} | \rangle} = \frac{Q_{5}}{4 E^{2} | \langle 1 | \chi^{3} | \rangle} = \frac{Q_{5}}{4 E^{2} | \langle 1 | \chi^{3} | \rangle} = \frac{Q_{5}}{4 E^{2} | \langle 1 | \chi^{3} | \rangle} = \frac{Q_{5}}{4 E^{2} | \langle 1 | \chi^{3} | \rangle} = \frac{Q_{5}}{4 E^{2} | \langle 1 | \chi^{3} | \rangle} = \frac{Q_{5}}{4 E^{2} | \langle 1 | \chi^{3} | \rangle} = \frac{Q_{5}}{4 E^{2} | \langle 1 | \chi^{3} | \rangle} = \frac{Q_{5}}{4 E^{2} | \langle 1 | \chi^{3} | \rangle} = \frac{Q_{5}}{4 E^{2} | \langle 1 | \chi^{3} | \rangle} = \frac{Q_{5}}{4 E^{2} | \langle 1 | \chi^{3} | \rangle} = \frac{Q_{5}}{4 E^{2} | \langle 1 | \chi^{3} | \rangle} = \frac{Q_{5}}{4 E^{2} | \langle 1 | \chi^{3} | \rangle} = \frac{Q_{5}}{4 E^{2} | \langle 1 | \chi^{3} | \rangle} = \frac{Q_{5}}{4 E^{2} | \langle 1 | \chi^{3} | \rangle} = \frac{Q_{5}}{4 E^{2} | \langle 1 | \chi^{3} | \rangle} = \frac{Q_{5}}{4 E^{2} | \langle 1 | \chi^{3} | \rangle} = \frac{Q_{5}}{4 E^{2} | \langle 1 | \chi^{3} | \rangle} = \frac{Q_{5}}{4 E^{2} | \langle 1 | \chi^{3} | \rangle} = \frac{Q_{5}}{4 E^{2} | \langle 1 | \chi^{3} | \rangle} = \frac{Q_{5}}{4 E^{2} | \langle 1 | \chi^{3} | \rangle} = \frac{Q_{5}}{4 E^{2} | \langle 1 | \chi^{3} | \rangle} = \frac{Q_{5}}{4 E^{2} | \langle 1 | \chi^{3} | \rangle} = \frac{Q_{5}}{4 E^{2} | \langle 1 | \chi^{3} | \rangle} = \frac{Q_{5}}{4 E^{2} | \langle 1 | \chi^{3} | \rangle} = \frac{Q_{5}}{4 E^{2} | \langle 1 | \chi^{3} | \rangle} = \frac{Q_{5}}{4 E^{2} | \langle 1 | \chi^{3} | \rangle} = \frac{Q_{5}}{4 E^{2} | \langle 1 | \chi^{3} | \rangle} = \frac{Q_{5}}{4 E^{2} | \langle 1 | \chi^{3} | \rangle} = \frac{Q_{5}}{4 E^{2} | \langle 1 | \chi^{3} | \rangle} = \frac{Q_{5}}{4 E^{2} | \langle 1 | \chi^{3} | \rangle} = \frac{Q_{5}}{4 E^{2} | \langle 1 | \chi^{3} | \rangle} = \frac{Q_{5}}{4 E^{2} | \langle 1 | \chi^{3} | \rangle} = \frac{Q_{5}}{4 E^{2} | \langle 1 | \chi^{3} | \rangle} = \frac{Q_{5}}{4 E^{2} | \langle 1 | \chi^{3} | \rangle} = \frac{Q_{5}}{4 E^{2} | \langle 1 | \chi^{3} | \rangle} = \frac{Q_{5}}{4 E^{2} | \langle 1 | \chi^{3} | \rangle} = \frac{Q_{5}}{4 E^{2} | \langle 1 | \chi^{3} | \rangle} = \frac{Q_{5}}{4 E^{2} | \langle 1 | \chi^{3} | \rangle} = \frac{Q_{5}}{4 E^{2} | \langle 1 | \chi^{3} | \rangle} = \frac{Q_{5}}{4 E^{2} | \langle 1 | \chi^{3} | \rangle} = \frac{Q_{5}}{4 E^{2} | \langle 1 | \chi^{3} | \rangle} = \frac{Q_{5}}{4 E^{2} | \langle 1 | \chi^{3} | \rangle} = \frac{Q_{5}}{4 E^{2} | \langle 1 | \chi^{3} | \rangle} = \frac{Q_{5}}{4 E^{2} | \langle 1 | \chi^{3} | \rangle} = \frac{Q_{5}}{4 E^{2} | \langle 1 | \chi^{3} | \rangle} = \frac{Q_{5}}{4 E^{2} | \langle 1 | \chi^{3} | \rangle} = \frac{Q_{5}}{4 E^{2} | \langle$$

Zur Auswertung der Gln. (2.1) – (2.16) benötigen wir nunmehr die Eigenvektoren der Umlaufsmatrix \mathfrak{M} (s + C, s) bei Kopplung der Betatronschwingungen durch einen gedrehten Quadrupol, die im nächsten Kapitel berechnet werden sollen.

III. Die Eigenvektoren der Umlaufsmatrix bei Kopplung der Betatronschwingungen durch einen gedrehten Quadrupol

Zur Ermittlung der Eigenvektoren denken wir uns den gedrehten Quadrupol durch eine dünne Linse mit der Übertragungsmatrix

(3.1)
$$m_{L} = \begin{pmatrix} 1 & 0 & 0 & 0 \\ 0 & 1 & \delta & 0 \\ 0 & 0 & 1 & 0 \\ \delta & 0 & 0 & 1 \end{pmatrix}$$

ersetzt und bezeichnen den Linsenmittelpunkt mit s=s $_L$. Dann lautet die gesamte Umlaufsmatrix

$$(3.2) \qquad m(s_{\perp}+C,s_{\perp}) = m_{\perp} \cdot m_{s}(s_{\perp}+C,s_{\perp}),$$

wobei $M_p(s_L + s, s_L)$ die Übertragungsmatrix der idealen Maschine (ohne Kopplung) bezeichnet, und für die Eigenvektoren

(3.3)
$$W_{p}(s) = M_{p}(s, s, s) W_{p}(s, s)$$

erhält man die Bestimmungsgleichung (2)

Setzt man noch

(3.5)
$$\mathfrak{M}_{s}(s, s_{\perp}) = (\mathfrak{M}_{s}(s), \mathfrak{M}_{s}(s), \mathfrak{M}_{s}(s), \mathfrak{M}_{s}(s))$$

mit

$$\frac{\sqrt{\beta_{x}(s)}}{\sqrt{\beta_{x}(s_{k})}} \cdot \left\{ \cos \left[\varphi_{x}(s) - \varphi_{x}(s_{k}) \right] + \lambda_{x}(s_{k}) \cdot \sin \left[\varphi_{x}(s) - \varphi_{x}(s_{k}) \right] \right\} \\
- \frac{1}{\sqrt{\beta_{x}(s_{k})}} \cdot \left\{ \left[\alpha_{x}(s_{k}) - \alpha_{x}(s) \right] \cdot \cos \left[\varphi_{x}(s) - \varphi_{x}(s_{k}) \right] - \left[1 + \alpha_{x}(s_{k}) \alpha_{x}(s) \right] \cdot \sin \left[\varphi_{x}(s) - \varphi_{x}(s_{k}) \right] \right\} \\
= \left[1 + \alpha_{x}(s_{k}) \alpha_{x}(s) \right] \cdot \sin \left[\varphi_{x}(s) - \varphi_{x}(s_{k}) \right] \right\}$$

$$\frac{\sqrt{\beta_{x}(s)} \sqrt{\beta_{x}(s_{L})}}{\sqrt{\beta_{x}(s_{L})}} \left\{ \cos \left[\varphi_{x}(s) - \varphi_{x}(s_{L}) \right] - \lambda_{x}(s) \sin \left[\varphi_{x}(s) - \varphi_{x}(s_{L}) \right] \right\}$$

$$\frac{\sqrt{\beta_{x}(s_{L})}}{\sqrt{\beta_{x}(s)}} \left\{ \cos \left[\varphi_{x}(s) - \varphi_{x}(s_{L}) \right] - \lambda_{x}(s) \sin \left[\varphi_{x}(s) - \varphi_{x}(s_{L}) \right] \right\}$$

$$\frac{1}{\sqrt{\beta_{2}(s_{1})}} \left\{ \cos \left[\varphi_{2}(s) - \varphi_{2}(s_{1}) \right] + d_{2}(s_{1}) \cdot \sin \left[\varphi_{2}(s) - \varphi_{2}(s_{1}) \right] \right\} \\
\frac{1}{\sqrt{\beta_{2}(s_{1})}} \left\{ \left[d_{2}(s_{1}) - d_{2}(s) \right] \cdot \cos \left[\varphi_{2}(s) - \varphi_{2}(s_{1}) \right] - \left[1 + d_{2}(s_{1}) d_{2}(s) \right] \cdot \sin \left[\varphi_{2}(s) - \varphi_{2}(s_{1}) \right] \right\}$$

$$\frac{1}{\sqrt{\beta_{2}(s_{1})}} \sqrt{\beta_{2}(s)} \cdot ni \left[\varphi_{2}(s) - \varphi_{2}(s_{1})\right] \\
\frac{\sqrt{\beta_{2}(s_{1})}}{\sqrt{\beta_{2}(s)}} \int cos \left[\varphi_{2}(s) - \varphi_{2}(s_{1})\right] - \lambda_{2}(s) ni \left[\varphi_{2}(s) - \varphi_{2}(s_{1})\right]$$

so folgt aus G1. (3.1) - (3.5), wenn noch die Normierungsbedingungen (2.2) berücksichtigt werden (n = 1, 11): (5)

$$(3.6) \quad W_{n} = N_{n} \cdot \begin{pmatrix} \sqrt{\beta_{1}} & \cdot & \cdot & \cdot \\ \frac{1}{\sqrt{\beta_{2}}} & \cdot & \cdot & \cdot \\ \sqrt{\beta_{2}} & \cdot & \cdot & \cdot \\ \sqrt{\beta_{2}} & \cdot & \cdot & \cdot \\ \frac{1}{\sqrt{\beta_{2}}} & \cdot & \cdot & \cdot \\ \end{pmatrix} \frac{\Delta \cdot m \mu_{2}}{2 \left(\ln 2 \pi \Omega_{n} - \ln \mu_{2} \right)}$$

mit (k = x, z)

(3.7a)
$$G_{nk} = \omega_n \left[\varphi_k - \varphi_k(s_k) \right] + m \left[\varphi_k - \varphi_k(s_k) \right] + \frac{e^{-i \cdot 2n \, \hat{u}_n}}{2m \, \mu_k}$$
;

(3.7b)
$$H_{nk} = -\left(i m \left[\varphi_{k} - \varphi_{k}(s_{k}) \right] + d_{k} \cdot u n \left[\varphi_{k} - \varphi_{k}(s_{k}) \right] \right) + \\ + \left(u n \left[\varphi_{k} - \varphi_{k}(s_{k}) \right] - d_{k} \cdot m \left[\varphi_{k} - \varphi_{k}(s_{k}) \right] \cdot \frac{e^{-7 \cdot 2 n \theta_{k}} - u n u_{k}}{2 m \mu_{k}};$$

$$N_{\rm T} = \sqrt{\frac{2m\mu_{\perp}}{2m 2n U_{\rm T}} \cdot \frac{\varkappa + 1}{2\varkappa}}$$

$$N_{\rm R} = \sqrt{\frac{2m\mu_{\kappa}}{2m 2n U_{\rm R}} \cdot \frac{\varkappa - 1}{2\varkappa}}$$

$$i$$

(3.9)
$$\omega_1 \ln \Omega_{\rm I} = \frac{1}{2} \left(\omega_1 \mu_1 + \omega_2 \mu_2 \right) + \frac{1}{2} \left(\omega_1 \mu_2 - \omega_1 \mu_2 \right) \times ;$$

$$\omega_1 \ln \Omega_{\rm II} = \frac{1}{2} \left(\omega_1 \mu_2 + \omega_2 \mu_2 \right) - \frac{1}{2} \left(\omega_1 \mu_2 - \omega_1 \mu_2 \right) \cdot \times ;$$

(3.10)
$$\Delta = \delta \cdot \sqrt{\beta_x(s_L)} \sqrt{\beta_z(s_L)} ;$$

(3.11)
$$\mu = \sqrt{1 + \frac{\Delta^2 m_1 \mu_2 m_2 \mu_3}{(m_1 \mu_2 - m_2)^2}}.$$

Dabei ist das Vorzeichen von \mathbf{Q}_{I} und \mathbf{Q}_{II} nach Gleichung (2.2) so festzulegen, daß

$$\frac{2m 2n Q_{\Sigma}}{2m \mu_{\Sigma}} > 0,$$

$$\frac{m 2 \pi U_{\overline{\Pi}}}{2m \mu_{\alpha}} \frac{x-1}{2x} > 0 \iff \frac{2m 2 \pi U_{\overline{\Pi}}}{2m \mu_{\alpha}} > 0$$

wird.

IV. Strahlaufweitung durch Kopplung

A) Allgemeiner Fall (Q_x, Q_z) beliebig).

Mit Hilfe der Gln. (3.6) - (3.11) sind wir jetzt in der Lage, die Strahl-aufweitung und die zugehörige Verschiebung der Luminositätsgrenze des Amman-Ritson-Effektes zu berechnen für den Fall, daß die Kopplung der Betatronschwingungen durch einen gedrehten Quadrupol hervorgerufen wird.

Zunächst erhält man durch Einsetzen von (3.6), (3.7) und (3.8) in (2.7a), (2.9a), (2.8) und (2.11)

für die Dämpfungskonstanten (5

(4.1b)
$$\lambda_{\pm} = \frac{\overline{W}}{2 E \cdot \langle \chi^{2} \rangle} \left\{ \langle \chi^{2} \rangle - \frac{\chi - 1}{2 \chi} \eta_{\chi} - \frac{\chi + 1}{2 \chi} \eta_{\chi} \right\};$$

$$\eta_{\chi} = \langle \chi_{\chi}^{3} (1 - 2 \eta_{\chi}) \partial_{\chi} \rangle;$$

$$\eta_{z} = \langle \chi_{z}^{3} (1 - 2 \eta_{z}) \partial_{\chi} \rangle;$$

für die Größen γ_{I} und γ_{II} :

$$\chi_{T} = \frac{\overline{Q}_{s}}{4 E^{2} \cdot (1 R^{3} 1)} \times \left\{ \frac{2 \pi A_{s}}{2 \pi 2 \pi Q_{T}} \cdot \frac{2 R A_{s}}{2 R} \left[\left\langle 1 R_{s} \right|^{3} \cdot \left(D_{s}^{2} \cdot \frac{4 + z_{s}^{2}}{\beta_{s}} + 2 D_{s} D_{s}^{2} \cdot \alpha_{s} + D_{s}^{12} \cdot \beta_{s} \right) \right\} + (x - 1) \cdot \frac{(\omega_{M_{s}} - \omega_{M_{s}})}{2 \pi \mu_{s}} \cdot \left\langle 1 R_{s} \right|^{3} \cdot \left(D_{s}^{2} \cdot \frac{R_{s}}{\beta_{s}} + 2 D_{s} D_{s}^{2} \cdot S_{s} + D_{s}^{12} \cdot \beta_{s} T_{s} \right) \right\} + \frac{2 \pi \mu_{s}}{2 \pi 2 \pi Q_{s}} \cdot \frac{x - 1}{2 R} \left[\left\langle 1 R_{s} \right|^{3} \cdot \left(D_{s}^{2} \cdot \frac{4 + z_{s}^{2}}{\beta_{s}} + 2 D_{s} D_{s}^{2} \cdot \alpha_{s} + D_{s}^{12} \cdot \beta_{s} T_{s} \right) \right\} \right\}$$

$$(4.2a)$$

$$+ (x + 1) \cdot \frac{(\omega_{M_{s}} - \omega_{M_{s}})}{2 \pi \mu_{s}} \cdot \left\langle 1 R_{s} \right|^{3} \cdot \left(D_{s}^{2} \cdot \frac{R_{s}}{\beta_{s}} + 2 D_{s} D_{s}^{2} \cdot S_{s} + D_{s}^{12} \cdot \beta_{s} T_{s} \right) \right\} \right\}$$

$$\lambda_{\Pi} = \frac{\overline{Q}_{x}}{4 E^{2} \cdot \langle |\chi|^{3} \rangle} \times \left\{ \frac{\gamma_{m} \mu_{x}}{2m 2\pi \Omega_{\Pi}} \frac{\varkappa - 1}{2\varkappa} \left[\langle |\chi_{x}|^{3} \cdot \left(D_{x}^{2} \cdot \frac{1 + \alpha_{x}^{2}}{\beta_{x}} + 2 D_{x} D_{x}^{2} \cdot \alpha_{x} + D_{x}^{2} \cdot \beta_{x} \right) \right\} - (\varkappa + 1) \cdot \frac{(\omega_{m_{x}} - \omega_{m_{x}})}{2m \mu_{x}} \cdot \langle |\chi_{x}|^{3} \cdot \left(D_{x}^{2} \cdot \frac{R_{x}}{\beta_{x}} + 2 D_{x} D_{x}^{2} \cdot S_{x} + D_{x}^{2} \cdot \beta_{x} T_{x} \right) \right\} + \frac{2m \mu_{x}}{2m 2\pi \Omega_{\Pi}} \frac{\varkappa + 1}{2\varkappa} \left[\langle |\chi_{x}|^{3} \cdot \left(D_{x}^{2} \cdot \frac{1 + \alpha_{x}^{2}}{\beta_{x}} + 2 D_{x} D_{x}^{2} \cdot \alpha_{x} + D_{x}^{2} \cdot \beta_{x} \right) \right\} - (\varkappa - 1) \cdot \frac{(\omega_{m_{x}} - \omega_{m_{x}})}{2m \mu_{x}} \cdot \langle |\chi_{x}|^{3} \cdot \left(D_{x}^{2} \cdot \frac{R_{x}}{\beta_{x}} + 2 D_{x} D_{x}^{2} \cdot S_{x} + D_{x}^{2} \cdot \beta_{x} T_{x} \right) \right\} \right\}$$

mit (k = x, z)

$$R_{k} = -\left(\omega_{1} \left[\varphi_{k} - \psi_{k}(s_{1})\right] - \lambda_{k} \sum_{k} \left[\varphi_{k} - \psi_{k}(s_{1})\right]\right) \times \left\{\left(\sum_{k} \left[\varphi_{k} - \psi_{k}(s_{1})\right] + \lambda_{k} \sum_{k} \left[\varphi_{k} - \psi_{k}(s_{1})\right]\right) + \left(\sum_{k} \sum_{k} \left[\varphi_{k} - \psi_{k}(s_{1})\right] - \lambda_{k} \sum_{k} \left[\varphi_{k} - \psi_{k}(s_{1})\right]\right)\right\} \right\}$$

$$S_{k} = \frac{1}{2} \sum_{k} \left[\psi_{k} - \psi_{k}(s_{1})\right] \cdot \left\{\left(\sum_{k} \left[\psi_{k} - \psi_{k}(s_{1})\right] + \lambda_{k} \sum_{k} \left[\psi_{k} - \psi_{k}(s_{1})\right]\right) + \lambda_{k} \sum_{k} \left[\psi_{k} - \psi_{k}(s_{1})\right] - \lambda_{k} \sum_{k} \left[\psi_{k} - \psi_{k}(s_{1})\right]\right\}$$

$$(4.4)$$

$$(4.4)$$

(4.5)
$$T_{h} = \min \left[\varphi_{h} - \varphi_{h}(s_{L}) \right] \cdot \left(\sin \left[\varphi_{h} - \varphi_{h}(s_{L}) \right] - \frac{\cos \mu_{h}}{\sin \mu_{h}} \sin \left[\varphi_{h} - \varphi_{h}(s_{L}) \right] \right);$$

für die Emittanzen:

(4.6a)
$$\frac{\xi_{\perp} \times \frac{2m\mu_{\perp}}{2m \ln \Omega_{\perp}} \cdot \frac{x \cdot 1}{2x} \cdot \int_{\Sigma_{\perp}} \xi_{\perp} + \frac{(\omega_{\perp} + \omega_{\perp} + \omega_{\perp})}{2m\mu_{\perp}} (x - 1) \cdot \tilde{\xi}_{\perp} \int_{X} x}{\langle \chi^{4} \rangle - R_{\perp}} \cdot \frac{\langle \chi^{4} \rangle - R_{\perp}}{\langle \chi^{4} \rangle - \frac{x \cdot 1}{2x} \cdot R_{\perp}} \cdot \frac{x \cdot 1}{2x} \cdot R_{\perp}} + \frac{m\mu_{\perp}}{2m \ln \Omega_{\perp}} \cdot \frac{x \cdot 1}{2x} \cdot \frac{\langle \chi^{4} \rangle - R_{\perp}}{2m \ln \Omega_{\perp}} \cdot \frac{x \cdot 1}{2x} \cdot R_{\perp}}{\langle \chi^{4} \rangle - \frac{R_{\perp}}{2x} \cdot R_{\perp}} \cdot \frac{\langle \chi^{4} \rangle - R_{\perp}}{2m \ln \Omega_{\perp}} \cdot \frac{\langle \chi^{4} \rangle - R_{\perp}}{2x} \cdot \frac{\langle \chi^{4} \rangle - R$$

mit

$$\xi_{\chi} = \frac{55 \text{ kc}_{\chi}^{3}}{32\sqrt{3} \text{ E}} \cdot \frac{\langle 1 \aleph_{\chi} |^{3} \cdot \left(D_{\chi}^{\lambda} \cdot \frac{1 + \varkappa_{\chi}^{\lambda}}{\beta_{\chi}} + 2 D_{\chi} D_{\chi}^{\lambda} \cdot \varkappa_{\chi} + D_{\chi}^{\lambda^{2}} \cdot \beta_{\chi} \right) \rangle}{\langle \aleph^{2} \rangle - \Re_{\chi}};$$

$$\xi_{\chi} = \frac{55 \text{ kc}_{\chi}^{3}}{32\sqrt{3} \text{ E}} \cdot \frac{\langle 1 \aleph_{\chi} |^{3} \cdot \left(D_{\chi}^{\lambda} \cdot \frac{\Re_{\chi}}{\beta_{\chi}} + 2 D_{\chi} D_{\chi}^{\lambda} \cdot S_{\chi} + D_{\chi}^{\lambda^{2}} \cdot \beta_{\chi} \cdot \Upsilon_{\chi} \right) \rangle}{\langle \aleph^{2} \rangle - \Re_{\chi}};$$

$$\xi_{\chi} = \frac{55 \text{ kc}_{\chi}^{3}}{32\sqrt{3} \text{ E}} \cdot \frac{\langle 1 \aleph_{\chi} |^{3} \cdot \left(D_{\chi}^{\lambda} \cdot \frac{1 + \varkappa_{\chi}^{\lambda}}{\beta_{\chi}} + 2 D_{\chi} D_{\chi}^{\lambda} \cdot \varkappa_{\chi} + D_{\chi}^{\lambda^{2}} \cdot \beta_{\chi} \right) \rangle}{\langle \aleph^{2} \rangle - \Re_{\chi}};$$

$$\xi_{\chi} = \frac{55 \text{ kc}_{\chi}^{3}}{32\sqrt{3} \text{ E}} \cdot \frac{\langle 1 \aleph_{\chi} |^{3} \cdot \left(D_{\chi}^{\lambda} \cdot \frac{1 + \varkappa_{\chi}^{\lambda}}{\beta_{\chi}} + 2 D_{\chi} D_{\chi}^{\lambda} \cdot \varkappa_{\chi} + D_{\chi}^{\lambda^{2}} \cdot \beta_{\chi} \right) \rangle}{\langle \aleph^{2} \rangle - \Re_{\chi}};$$

$$\xi_{\chi} = \frac{55 \text{ kc}_{\chi}^{3}}{32\sqrt{3} \text{ E}} \cdot \frac{\langle 1 \aleph_{\chi} |^{3} \cdot \left(D_{\chi}^{\lambda} \cdot \frac{\Re_{\chi}}{\beta_{\chi}} + 2 D_{\chi} D_{\chi}^{\lambda} \cdot \varkappa_{\chi} + D_{\chi}^{\lambda^{2}} \cdot \beta_{\chi} \right) \rangle}{\langle \aleph^{2} \rangle - \Re_{\chi}};$$

$$\xi_{\chi} = \frac{55 \text{ kc}_{\chi}^{3}}{32\sqrt{3} \text{ E}} \cdot \frac{\langle 1 \aleph_{\chi} |^{3} \cdot \left(D_{\chi}^{\lambda} \cdot \frac{\Re_{\chi}}{\beta_{\chi}} + 2 D_{\chi} D_{\chi}^{\lambda} \cdot \varkappa_{\chi} + D_{\chi}^{\lambda^{2}} \cdot \beta_{\chi} \right) \rangle}{\langle \aleph^{2} \rangle - \Re_{\chi}};$$

$$\xi_{\chi} = \frac{55 \text{ kc}_{\chi}^{3}}{32\sqrt{3} \text{ E}} \cdot \frac{\langle 1 \aleph_{\chi} |^{3} \cdot \left(D_{\chi}^{\lambda} \cdot \frac{\Re_{\chi}}{\beta_{\chi}} + 2 D_{\chi} D_{\chi}^{\lambda} \cdot \varkappa_{\chi} + D_{\chi}^{\lambda^{2}} \cdot \beta_{\chi} \right) \rangle}{\langle \aleph^{2} \rangle - \Re_{\chi}};$$

$$\xi_{\chi} = \frac{55 \text{ kc}_{\chi}^{3}}{32\sqrt{3} \text{ E}} \cdot \frac{\langle 1 \aleph_{\chi} |^{3} \cdot \left(D_{\chi}^{\lambda} \cdot \frac{\Re_{\chi}}{\beta_{\chi}} + 2 D_{\chi} D_{\chi}^{\lambda} \cdot \varkappa_{\chi} + D_{\chi}^{\lambda^{2}} \cdot \beta_{\chi} \right) \rangle}{\langle \aleph^{2} \rangle - \Re_{\chi}};$$

$$\xi_{\chi} = \frac{55 \text{ kc}_{\chi}^{3}}{32\sqrt{3} \text{ E}} \cdot \frac{\langle 1 \aleph_{\chi} |^{3} \cdot \left(D_{\chi}^{\lambda} \cdot \frac{\Re_{\chi}}{\beta_{\chi}} + 2 D_{\chi} D_{\chi}^{\lambda} \cdot \varkappa_{\chi} + D_{\chi}^{\lambda^{2}} \cdot \beta_{\chi} \right) \rangle}{\langle \aleph^{2} \rangle - \Re_{\chi}};$$

$$\xi_{\chi} = \frac{55 \text{ kc}_{\chi}^{3}}{32\sqrt{3} \text{ E}} \cdot \frac{\langle 1 \aleph_{\chi} |^{3} \cdot (D_{\chi}^{\lambda} \cdot \frac{\Re_{\chi}}{\beta_{\chi}} + 2 D_{\chi} D_{\chi}^{\lambda} \cdot \chi_{\chi} + D_{\chi}^{\lambda^{2}} \cdot \beta_{\chi} + D_{\chi}^{\lambda^{2}} \cdot \beta_{\chi}$$

und schließlich für die mittlere Strahlausdehnung

mit

$$U_{x_{2}} = \omega_{x_{1}} \left[\varphi_{x_{1}}(s) - \varphi_{x_{1}}(s_{L}) \right] \cdot n_{x_{1}} \left[\varphi_{x_{2}}(s) - \varphi_{x_{1}}(s_{L}) \right] - \frac{\omega_{x_{1}} \mu_{x_{2}}}{n_{x_{1}} \mu_{x_{1}}} n_{x_{1}} \left[\varphi_{x_{1}}(s) - \varphi_{x_{1}}(s_{L}) \right] \cdot n_{x_{1}} \left[\varphi_{x_{1}}(s) - \varphi_{x_{1}}(s_{L}) \right] - \frac{\omega_{x_{1}} \mu_{x_{2}}}{n_{x_{1}} \mu_{x_{2}}} n_{x_{1}} \left[\varphi_{x_{1}}(s) - \varphi_{x_{1}}(s_{L}) \right] \cdot n_{x_{1}} \left[\varphi_{x_{1}}(s) - \varphi_{x_{1}}(s_{L}) \right] - \frac{\omega_{x_{1}} \mu_{x_{2}}}{n_{x_{1}} \mu_{x_{2}}} n_{x_{1}} \left[\varphi_{x_{1}}(s) - \varphi_{x_{1}}(s_{L}) \right] \cdot n_{x_{1}} \left[\varphi_{x_{1}}(s) - \varphi_{x_{1}}(s) - \varphi_{x_{1}}(s) \right] \cdot n_{x_{1}} \left[\varphi_{x_{1}}(s) - \varphi_{x_{1}}(s) - \varphi_{x_{1}}(s) \right] \cdot n_{x_{1}} \left[\varphi_{x_{1}}(s) - \varphi_{x_{1}}(s) - \varphi_{x_{1}}(s) \right] \cdot n_{x_{1}} \left[\varphi_{x_{1}}(s) - \varphi_{x_{1}}(s) - \varphi_{x_{1}}(s) \right] \cdot n_{x_{1}} \left[\varphi_{x_{1}}(s) - \varphi_{x_{1}}(s) - \varphi_{x_{1}}(s) \right] \cdot n_{x_{1}} \left[\varphi_{x_{1}}(s) - \varphi_{x_{1}}(s) - \varphi_{x_{1}}(s) \right] \cdot n_{x_{1}} \left[\varphi_{x_{1}}(s) - \varphi_{x_{1}}(s) - \varphi_{x_{1}}(s) \right] \cdot n_{x_{1}} \left[\varphi_{x_{1}}(s) - \varphi_{x_{1}}(s) - \varphi_{x_{1}}(s) \right] \cdot n_{x_{1}} \left[\varphi_{x_{1}}(s) - \varphi_{x_{1}}(s) - \varphi_{x_{1}}(s) \right] \cdot n_{x_{1}} \left[\varphi_{x_{1}}(s) - \varphi_{x_{1}}(s) - \varphi_{x_{1}}(s) \right] \cdot n_{x_{1}} \left[\varphi_{x_{1}}(s) - \varphi_{x_{1}}(s) - \varphi_{x_{1}}(s) \right] \cdot n_{x_{1}} \left[\varphi_{x_{1}}(s) - \varphi_{x_{1}}(s) - \varphi_{x_{1}}(s) \right] \cdot n_{x_{1}} \left[\varphi_{x_{1}}(s) - \varphi_{x_{1}}(s) - \varphi_{x_{1}}(s) \right] \cdot n_{x_{1}} \left[\varphi_{x_{1}}(s) - \varphi_{x_{1}}(s) - \varphi_{x_{1}}(s) \right] \cdot n_{x_{1}} \left[\varphi_{x_{1}}(s) - \varphi_{x_{1}}(s) - \varphi_{x_{1}}(s) \right] \cdot n_{x_{1}} \left[\varphi_{x_{1}}(s) - \varphi_{x_{1$$

(Die Größe \mathcal{E}_{xz} legt nach Gl. (2.14) den Drehwinkel des Strahlquerschnitts fest.)

B) Allgemeine Forderungen für die Strahlaufweitung

Die Gln. (4.8) und (4.9) bestimmen den Strahlquerschnitt an jeder Stelle s des Ringes, insbesondere also in den Wechselwirkungszonen, wobei der Ort s = s_L der Linse, die die Kopplung verursacht, und die Linsenstärke δ vorzugeben sind. Für δ = 0 (bzw. Δ = 0) gehen sie in die bekannten Beziehungen

$$c_{\mathbf{x}} = \epsilon_{\mathbf{x}} \cdot \sqrt{\beta_{\mathbf{x}}},$$

$$c_{\mathbf{z}} = \epsilon_{\mathbf{z}} \cdot \sqrt{\beta_{\mathbf{z}}},$$

$$c_{\mathbf{z}} = \epsilon_{\mathbf{z}} \cdot \sqrt{\beta_{\mathbf{z}}},$$

$$c_{\mathbf{z}} = 0$$

der ungekoppelten Maschine über.

Gemäß dem in der Einleitung entwickelten Programm besteht unsere weitere Aufgabe nunmehr darin festzustellen, ob der Strahlquerschnitt an den Kreuzungspunkten in vertikaler Richtung gedehnt werden kann, um die Raumladungskräfte in dieser Richtung zur Stabilisierung der Betatronschwingungen abzuschwächen.

Für eine solche Aufweitung des Strahls sind allgemein folgende Bedingungen zu stellen:

(I) Die durch Kopplung bedingte Q-Verschiebung

$$(Q_x, Q_z) \rightarrow (Q_I, Q_{II})$$

muß so klein bleiben, daß der Arbeitspunkt (Q_I , Q_{II}) kein Stoppband erreicht, d.h. es müssen die Stabilitätsbedingungen der Strahlführung (4)

$$Q_{I}, Q_{II} \neq n, \frac{n}{2}$$
(4.11)
$$(n = ganze Zahl)$$

erfüllt sein.

(II) Die Strahlaufweitung soll schon bei möglichst kleiner Linsenstärke δ erfolgen.

(III) Beim Einschalten der Kopplung dürfen die Dispersionsbahnen $D_x(s)$, $D_z(s)$ nicht gestört werden. Die Linse muß also an einer solchen Stelle $s=s_L$ aufgestellt werden, wo D_x und D_z verschwinden:

$$D_{x}(s_{L}) = D_{z}(s_{L}) = 0.$$

(IV) Da die Raumladungskräfte beim Durchdringen zweier gedrehter Strahlen in linearer Näherung wie eine um den gleichen Winkel gedrehte Quadrupollinse wirken, muß der Drehwinkel des Strahls in der Wechselwirkungszone so klein sein, daß die von der Strahl-Strahl-Wechselwirkung verursachte zusätzliche Kopplung den Strahlquerschnitt nicht merklich beeinflußt und gegen die von der eingebauten Quadrupollinse hervorgerufene Kopplung vernachlässigt werden kann.

C) Die Resonanzbedingung

Um die Forderungen (I) - (IV) erfüllen zu können, bedenken wir zunächst, daß sich nach Gl. (3.10) und (4.8) die mittlere Strahlausdehnung in x- und z-Richtung nur dann wesentlich ändert, wenn

gilt. *)

Andererseits geht aus G1. (3.9) hervor, daß die Größe ★ und damit die Kopplungsstärke △ der Linse nicht beliebig groß werden darf, da sonst nach G1. (3.9)

den Absolutwert 1 überschreitet, also Q_n komplex und damit der Strahl instabil wird (4):

(4.15)
$$|\cos 2\pi Q_n| < 1$$
, $(n = I, II)$; (Stabilitätsbedingung).

Alle drei Bedingungen (4.13, 14, 15) können aber nur dann gleichzeitig befriedigt werden, wenn wir zum Resonanzfall

$$Q_{z} - Q_{x} = n + \delta Q;$$

$$n = \text{ganze Zahl};$$

$$|\delta Q| \ll 1$$

übergehen.

*)

Der Fall $\sin\mu_{\rm X} \sin\mu_{\rm Z}$ < 0 wirkt sich ungünstig auf den Amman-Ritson-Effekt aus, kann also außer acht gelassen werden. Außerdem ist mit $\sin\mu_{\rm X} \sin\mu_{\rm Z}$ < 0 nicht die Forderung (IV) erfüllbar (siehe Gl. (4.18)).

In der Tat ist dann mit

$$sin \mu_{X} \equiv sin 2 \pi \ell_{X}$$

$$= sin (2 \pi \ell_{X} + \pi + \delta \ell)$$

$$\approx sin 2 \pi \ell_{X} \equiv 2 \pi \mu_{X}$$

die Forderung (4.13) automatisch erfüllt.

Ferner entsteht aus (4.14)

$$(4.17) \qquad \qquad \Delta^2 >> (2\pi \cdot \delta Q)^2 .$$

Dieser Bedingung kann man aber für $|\delta Q|<<1$ schon bei relativ kleiner Kopplungsstärke Δ genügen, ohne daß die Stabilitätsbedingungen (4.15) verletzt wird, die sich jetzt in der Form

mit

(4.18b)
$$\begin{cases} \cos 2n \mathcal{A}_{\Gamma} = \cos \mu_{\chi} + (\chi - 1) \cdot n \cdot \delta \mathcal{A} \cdot \min_{\chi} \\ \cos 2n \mathcal{A}_{\overline{L}} = \cos \mu_{\chi} - (\chi \cdot 1) \cdot n \cdot \delta \mathcal{A} \cdot \min_{\chi} \end{cases}$$

schreibt.

Daraus erhellt, daß bereits mit der Resonanzbedingung (4.16) allein die Forderungen (I) und (II) befriedigt werden können.

Um zu zeigen, daß auch noch die Forderungen (III) und (IV) erfüllbar sind, wählen wir für den bei DESY geplanten Speicherring als Linsenort die Stelle

$$s_L = \frac{C}{4}$$

(C = Bahnumfang),

so daß sich der gedrehte Quadrupol gerade in der Mitte zwischen den beiden Wechselwirkungszonen befindet. Dann gilt zunächst für den DESY-Speicherring

$$D_{x} \left(\frac{C}{4}\right) = D_{z} \left(\frac{C}{4}\right) = \emptyset$$

im Einklang mit Forderung (III)

Weiterhin fordern wird, daß die Differenz der Q-Werte

$$Q_x - Q_z$$

nahezu eine ungerade Zahl darstellt:

$$Q_z - Q_x = (2m + 1) + \delta Q$$
;
 $m = ganze Zahl$.

Dann ergibt sich die für die Größe $\frac{1}{XZ}$ maßgebliche Phasendifferenz

$$\Delta \varphi(s) = \left[\varphi_{\lambda}(s) - \varphi_{\lambda}(s_{\lambda}) \right] - \left[\varphi_{\lambda}(s) - \varphi_{\lambda}(s_{\lambda}) \right]$$

an den Kreuzungspunkten $s = 0, \frac{C}{2}$ mit

$$\begin{split} & \varphi_{\Lambda} \left(0 \right) - \varphi_{X} \left(s_{L} \right) = -\frac{1}{4} \cdot 2 \pi Q_{X} = -\frac{\pi}{2} \cdot Q_{X} ; \\ & \varphi_{Z} \left(0 \right) - \varphi_{Z} \left(s_{L} \right) = -\frac{1}{4} \cdot 2 \pi Q_{Z} = -\frac{\pi}{2} \cdot Q_{Z} ; \\ & \varphi_{X} \left(\frac{C}{2} \right) - \varphi_{X} \left(s_{L} \right) = \frac{1}{2} \cdot 2 \pi Q_{X} = \frac{\pi}{4} \cdot 2 \pi Q_{X} = \frac{\pi}{2} \cdot Q_{X} ; \\ & \varphi_{Z} \left(\frac{C}{2} \right) - \varphi_{Z} \left(s_{L} \right) = \frac{1}{2} \cdot 2 \pi Q_{Z} - \frac{1}{4} \cdot 2 \pi Q_{Z} = \frac{\pi}{2} \cdot Q_{Z} ; \end{split}$$

$$\Delta \varphi(0) = \frac{n}{2} \left(Q_{x} - Q_{x} \right) = \frac{n}{2} \cdot \left(2m + 1 \right) + \frac{n}{2} \cdot \delta Q_{x}$$

$$\Delta \varphi\left(\frac{C}{2}\right) = -\Delta \varphi(0),$$

und für den in (4.9a) auftretenden Faktor cos(Δφ) bekommen wir

$$cos(\Delta \varphi) = -(-1)^m \cdot \frac{\pi}{2} \cdot \delta Q$$

Infolgedessen kann man die Größe σ_{xz} , die nach Gl. (2.14) die Drehung des Strahls bestimmt, und somit auch den Drehwinkel θ in den Wechselwirkungszonen durch Einstellung einer scharfen Resonanz ($|\delta Q| << 1$) beliebig klein machen, wie in der Bedingung (IV) verlangt wurde.

Im folgenden Abschnitt soll der Strahlquerschnitt selbst ermittelt werden (σ_x , σ_z und σ_{xz}), der sich im Resonanzfall an den Kreuzungspunkten einstellt.

D) Strahlquerschnitt im Resonanzfall

Die für die Strahlausdehnung charakteristischen Größen \mathcal{C}_{x} , \mathcal{C}_{z} und \mathcal{C}_{xz} errechnen sich im Resonanzfall aus den allgemeinen Bestimmungsgleichungen (4.8) und (4.9) unter Berücksichtigung der aus der Resonanzbedingung (4.16) folgenden Beziehung

Grundsätzlich sind wir damit in der Lage, bei Vorgabe der "Verstimmung " $\delta \dot{Q}$ den Strahlquerschnitt für eine beliebige Kopplungsstärke Δ zu ermitteln.

Man kann jedoch die Gln. (4.8) und (4.9) noch wesentlich vereinfachen, wenn folgende Annahmen gemacht werden, die für den DESY Speicherring weitgehend zutreffen bzw. realisierbar sind (durch Einstellung einer scharfen Resonanz $\Rightarrow |\delta \Omega| < 1$ und relativ schwache Kopplung):

$$(4.20a) \varepsilon_{x} < \varepsilon_{x} ; | \tilde{\varepsilon}_{x} | < \varepsilon_{x} ,$$

$$(4.20b) 2n \cdot |\delta\Omega| \times |\tilde{\epsilon}| < |\epsilon_{\lambda}|;$$

$$(4.20c) 2\pi \cdot |\hat{SQ}| \times |T_{x,x}| < 1 \quad \text{for } s = 0, \quad \frac{C}{2};$$

$$(4.20d) \qquad \qquad 2n \quad |SQ| \times \frac{|m\mu_{\star}|}{2m\mu_{\star}} < 4.$$

Unter diesen Voraussetzungen wird

$$\frac{2m^{2}\mu_{x}}{2m^{2}}\approx\frac{2m^{2}\mu_{x}}{2m^{2}}\approx 1$$

und alle Ausdrücke in (4.6) und (4.8), die eine der Größen

$$\mathcal{E}_{\mathbf{z}}$$
, $\widetilde{\mathcal{E}}_{\mathbf{x}}$, $\widetilde{\mathcal{E}}_{\mathbf{z}}$

als Faktor enthalten, können in diesen Gleichungen vernachlässigt werden, so daß wir aus (4.8) unter Berücksichtigung von (4.6) für den Strahlquerschnitt im Resonanzfall

(4.21a)
$$\mathbf{6}_{x}^{2} = \beta_{x} \cdot \mathbf{F}_{x}(x) ,$$

$$(4.21b) G_{2}^{\lambda} = \beta_{2} \cdot F_{2}(x) ,$$

(4.21c)
$$G_{xx} = \sqrt{\beta_x} \sqrt{\beta_x} \cdot F_{xx}(x)$$

erhalten mit

$$F_{x}(x) = \varepsilon_{x} \cdot \left\{ \frac{(x+1)^{2}}{4x^{2}} \cdot \frac{\langle x^{2} \rangle - H_{x}}{\langle x^{2} \rangle - \frac{x+1}{2x} H_{x} - \frac{x-1}{2x} H_{x}} + \frac{(x-1)^{2}}{4x^{2}} \cdot \frac{\langle x^{2} \rangle - H_{x}}{\langle x^{2} \rangle - \frac{x-1}{2x} H_{x}} + \frac{(x-1)^{2}}{4x^{2}} \cdot \frac{\langle x^{2} \rangle - \frac{x-1}{2x} H_{x}}{\langle x^{2} \rangle - \frac{x-1}{2x} H_{x}} \right\};$$

$$\begin{aligned}
& \left\{ \begin{array}{c} \chi^{2} - \eta_{x} \\ \chi^{2} - \eta_{x} \\ \end{array} \right\} & \left\{ \begin{array}{c} \chi^{2} - \eta_{x} \\ \chi^{2} - \frac{\kappa + 1}{2\kappa} \eta_{x} - \frac{\kappa - 1}{2\kappa} \eta_{x} \\ \end{array} \right. \\
& \left\{ \begin{array}{c} \chi^{2} - \eta_{x} \\ \chi^{2} - \frac{\kappa + 1}{2\kappa} \eta_{x} - \frac{\kappa + 1}{2\kappa} \eta_{x} \end{array} \right\} \\
& \left\{ \begin{array}{c} \chi^{2} - \eta_{x} \\ \chi^{2} - \frac{\kappa + 1}{2\kappa} \eta_{x} - \frac{\kappa + 1}{2\kappa} \eta_{x} \end{array} \right\} \\
& \left\{ \begin{array}{c} \chi^{2} - \eta_{x} \\ \chi^{2} - \frac{\kappa + 1}{2\kappa} \eta_{x} - \frac{\kappa + 1}{2\kappa} \eta_{x} \end{array} \right\} \\
& \left\{ \begin{array}{c} \chi^{2} - \eta_{x} \\ \chi^{2} - \frac{\kappa + 1}{2\kappa} \eta_{x} - \frac{\kappa + 1}{2\kappa} \eta_{x} \end{array} \right\} \\
& \left\{ \begin{array}{c} \chi^{2} - \eta_{x} \\ \chi^{2} - \frac{\kappa + 1}{2\kappa} \eta_{x} - \frac{\kappa + 1}{2\kappa} \eta_{x} \end{array} \right\} \\
& \left\{ \begin{array}{c} \chi^{2} - \eta_{x} \\ \chi^{2} - \frac{\kappa + 1}{2\kappa} \eta_{x} - \frac{\kappa + 1}{2\kappa} \eta_{x} \end{array} \right\} \\
& \left\{ \begin{array}{c} \chi^{2} - \eta_{x} \\ \chi^{2} - \frac{\kappa + 1}{2\kappa} \eta_{x} - \frac{\kappa + 1}{2\kappa} \eta_{x} \end{array} \right\} \\
& \left\{ \begin{array}{c} \chi^{2} - \eta_{x} \\ \chi^{2} - \frac{\kappa + 1}{2\kappa} \eta_{x} - \frac{\kappa + 1}{2\kappa} \eta_{x} \end{array} \right\} \\
& \left\{ \begin{array}{c} \chi^{2} - \eta_{x} \\ \chi^{2} - \frac{\kappa + 1}{2\kappa} \eta_{x} - \frac{\kappa + 1}{2\kappa} \eta_{x} \end{array} \right\} \\
& \left\{ \begin{array}{c} \chi^{2} - \eta_{x} \\ \chi^{2} - \frac{\kappa + 1}{2\kappa} \eta_{x} - \frac{\kappa + 1}{2\kappa} \eta_{x} \end{array} \right\} \\
& \left\{ \begin{array}{c} \chi^{2} - \eta_{x} \\ \chi^{2} - \frac{\kappa + 1}{2\kappa} \eta_{x} - \frac{\kappa + 1}{2\kappa} \eta_{x} \end{array} \right\} \\
& \left\{ \begin{array}{c} \chi^{2} - \eta_{x} \\ \chi^{2} - \frac{\kappa + 1}{2\kappa} \eta_{x} - \frac{\kappa + 1}{2\kappa} \eta_{x} \end{array} \right\} \\
& \left\{ \begin{array}{c} \chi^{2} - \eta_{x} \\ \chi^{2} - \eta_{x} - \frac{\kappa + 1}{2\kappa} \eta_{x} - \frac{\kappa + 1}{2\kappa} \eta_{x} \end{array} \right\} \\
& \left\{ \begin{array}{c} \chi^{2} - \eta_{x} \\ \chi^{2} - \eta_{x} - \frac{\kappa + 1}{2\kappa} \eta_{x} - \frac{\kappa + 1}{2\kappa} \eta_{x} \end{array} \right\} \\
& \left\{ \begin{array}{c} \chi^{2} - \eta_{x} \\ \chi^{2} - \eta_{x} - \frac{\kappa + 1}{2\kappa} \eta_{x} \end{array} \right\}$$

(4.22c)
$$F_{xz}(x) = F_{xz}(x) + F_{xz}(x)$$
;

$$F_{X\bar{x}}^{(4)}(x) = -(-1)^{\frac{m}{4}} \cdot \frac{\pi}{4} \cdot \delta Q \times \frac{\Delta \cdot 2m \mu_{X}}{(\omega_{X} - \omega_{X})^{\frac{2m}{4}}} \times \frac{\Delta \cdot 2m \mu_$$

$$F_{xx}^{(2)}(x) = \pi \cdot \delta Q \times$$

$$\frac{\lambda \cdot 2m \mu_{x}}{\left(\omega_{1} \mu_{x} - \omega_{1} \mu_{z}\right) \cdot \sqrt{1 + \frac{\Delta^{2} \cdot 2m \mu_{x} 2m \mu_{z}}{\left(\omega_{1} \mu_{x} - \omega_{1} \mu_{z}\right)^{2}}}} \times \mathcal{E}_{x} \cdot \begin{cases} \frac{\left(\varkappa + 1\right)^{2}}{2\varkappa} \cdot \frac{\left(\varkappa^{2}\right) - \Pi_{x}}{\left(\varkappa^{2}\right) - \frac{\varkappa + 1}{2\varkappa} \Pi_{x} - \frac{\varkappa - 1}{2\varkappa} \Pi_{z}} \\ - \frac{\left(\varkappa - 1\right)^{2}}{2\varkappa} \cdot \frac{\left(\varkappa^{2}\right) - \Pi_{x}}{\left(\varkappa^{2}\right) - \frac{\varkappa - 1}{2\varkappa} \Pi_{x} - \frac{\varkappa + 1}{2\varkappa} \Pi_{z}} \end{cases} \times \begin{cases} \omega_{1} \left[\varphi_{x}(s) - \varphi_{x}(s)\right] - \varphi_{x}(s)\right] \cdot 2m \left[\varphi_{x}(s) - \varphi_{x}(s)\right] - \frac{\omega_{1} \mu_{x}}{2m \mu_{x}} \cdot 2m \left[\varphi_{x}(s) - \varphi_{x}(s)\right] \end{cases}.$$

Um noch die Bedingungen (4.20) in eine für die Auswertung bequemere Form zu bringen, setzen wir nach (4.3, 4, 5, 7) für $\hat{\epsilon}_{x}$ and $(\Upsilon_{x, 1})$

$$(4.23) \qquad \overset{\sim}{\mathbf{E}}_{\mathbf{x}} = \overset{\sim}{\mathbf{E}}_{\mathbf{x}}^{(1)} + \frac{\omega_{\mathbf{x}} \mu_{\mathbf{x}}}{m_{\mathbf{x}}} \cdot \overset{\sim}{\mathbf{E}}_{\mathbf{x}}^{(2)} ;$$

(4.24)
$$T_{x_1 2} = T_{x_1 2}^{(1)} + \frac{\omega_1 M_{x_1 2}}{2m_1 M_{x_1 2}}, T_{x_1 2}^{(2)} \quad \{ \text{ wit } s = 0, \frac{C}{2} \}$$

mit

$$\widetilde{\epsilon}_{x}^{(v)} = \frac{55 \text{ kc} y^{3}}{32\sqrt{3} \text{ E}} \cdot \frac{\left\langle 1\%_{x} 1^{3} \cdot \left(D_{x}^{2} \cdot \frac{R_{x}^{(v)}}{3x} + 2 D_{x} D_{x}^{2} \cdot S_{x}^{(v)} + D_{x}^{(v)} \cdot \beta_{x} T_{x}^{(v)} \right\rangle}{\left\langle \chi^{2} \right\rangle - \widetilde{H}_{x}}$$

$$(4.25) \qquad \qquad (\mathbf{v} = 1 \ \mathbf{\lambda}) \ ,$$

sowie

$$(T_{\chi}^{(1)})_{s=0} = -(T_{\chi}^{(1)})_{s=\frac{C}{2}} = -\frac{1}{2} \sin(\theta_{\chi}, \eta);$$

$$(T_{\chi}^{(2)})_{s=0} = +(T_{\chi}^{(2)})_{s=\frac{C}{2}} = -\sin^{2}(\theta_{\chi}, \frac{\eta}{2});$$

$$(T_{\chi}^{(1)})_{s=0} = -(T_{\chi}^{(1)})_{s=\frac{C}{2}} = -\frac{1}{2} \sin(\theta_{\chi}, \eta);$$

$$(T_{\chi}^{(2)})_{s=0} = +(T_{\chi}^{(2)})_{s=\frac{C}{2}} = -\sin^{2}(\theta_{\chi}, \frac{\eta}{2});$$

$$(T_{\chi}^{(2)})_{s=0} = +(T_{\chi}^{(2)})_{s=\frac{C}{2}} = -\sin^{2}(\theta_{\chi}, \frac{\eta}{2});$$

Dann entstehen aus (4.20b) die Bedingungen

$$(4.27b) \qquad \qquad 2n \quad \tilde{\mathcal{J}} \mathcal{Q} + \kappa \cdot \left| \tilde{\mathcal{E}}_{\lambda}^{(1)} \right| \cdot \left| \frac{\ln \mu_{\lambda}}{2m \mu_{\lambda}} \right| < < \tilde{\mathcal{E}}_{\lambda}$$

und aus (4.20c)

$$(4.28a) \qquad \qquad n = |\delta Q| \cdot \kappa \cdot |\Im (Q_{\kappa} \cdot n)| << 1;$$

$$(4.28b) \qquad 2\pi \cdot |\delta Q| \times \left| \frac{\omega_{1} \mu_{x}}{2m \mu_{x}} \right| \cdot 2m^{2} \left(Q_{x} \cdot \frac{\eta}{2}\right) < < 1;$$

$$(4.28c) \qquad \qquad 2n \cdot |\delta u| \cdot \kappa \cdot \left| \frac{\cos \kappa_{\chi}}{\sin \kappa_{\chi}} \right| \cdot \sin^{2} \left(u_{2} \cdot \frac{\pi}{2} \right) < 1,$$

von denen (4.28b, c) automatisch mit (4.20d) erfüllt sind.

Ist außerdem wie beim DESY-Speicherring

$$|\widetilde{\mathcal{E}}_{\chi}^{(1)}| << \varepsilon_{\chi} ;$$

$$|\widetilde{\mathcal{E}}_{\chi}^{(2)}| \lesssim \varepsilon_{\chi} ,$$

so können wir (4.27a) außer acht lassen, während (4.27b) mit (4.20d) identisch wird. Insgesamt bekommen wir dann die zu (4.20) äquivalenten Forderungen

die (neben (4.29)), evtl. nach einer geeigneten Verschiebung des Arbeitspunktes, für die Gültigkeit der Bestimmungsgleichungen (4.21) und (4.22) des Strahl-querschnitts zu befriedigen sind.

Für den DESY-Speicherring (ohne FODO-Kanal) dürfen wir weiterhin zur Bestimmung des Strahlquerschnitts

(4.30a)
$$\frac{\langle \mathcal{R}^{1} \rangle - \mathcal{R}_{r}}{\langle \mathcal{R}^{1} \rangle - \frac{\varkappa + 1}{2\varkappa} \mathcal{R}_{x}} = \frac{\varkappa - 1}{2\varkappa} \mathcal{R}_{x}$$

(4.30b)
$$\frac{\langle \kappa^{\lambda} \rangle - \beta_{\chi}}{\langle \kappa^{\lambda} \rangle - \frac{\kappa - 1}{2\kappa} \beta_{\chi} - \frac{\kappa + 1}{2\kappa} \beta_{\chi}} \approx 1$$

setzen, da

$$(4.31) \qquad |R_{\chi}|, |R_{\bar{z}}| << < \chi^{\lambda} >$$

gilt, so daß (4.22) übergeht in

$$(4.32a) F_{\chi}(\kappa) = F_{\chi} \cdot \frac{\kappa^2 + 1}{2\kappa^2} ;$$

$$(4.32b) F_{\lambda}(\lambda) = \varepsilon_{\lambda} \cdot \frac{\lambda^{2} - 1}{2 \lambda^{2}}$$

$$(4.32c) \qquad F_{x_{2}}(x) = E_{x} \cdot \eta \cdot \delta Q \times \frac{\Delta \cdot \eta_{x_{1}} \mu_{x_{2}}}{(\omega_{x_{1}} \mu_{x_{1}} - \omega_{x_{1}})^{2}} \times \frac{\Delta \cdot \eta_{x_{1}} \mu_{x_{2}}}{(\omega_{x_{1}} \mu_{x_{1}} - \omega_{x_{1}})^{2}} \times \left\{ -(-1)^{m} \cdot \frac{1}{4} + \frac{1}{2} \left[\omega_{x_{1}} \left(\varphi_{x_{1}}(s_{1} - \varphi_{x_{1}}(s_{1}) \right) \gamma_{x_{1}} \left(\varphi_{x_{1}}(s_{1} - \varphi_{x_{2}}(s_{1}) \right) - \frac{\omega_{x_{1}}}{\eta_{x_{1}} \mu_{x_{2}}} \right\} \cdot \eta_{x_{1}} \left(\varphi_{x_{1}}(s_{1} - \varphi_{x_{1}}(s_{1}) \right) \gamma_{x_{1}} \left(\varphi_{x_{1}}(s_{1} - \varphi_{x_{2}}(s_{1}) \right) \right\}.$$

Ist * >> 1 , so erhält man also insbesondere in den Wechselwirkungszonen, wo (für den DESY-Speicherring)

$$\beta_{\mathbf{x}} = \beta_{\mathbf{z}}$$

wird, nahezu einen kreisförmigen Strahlquerschnitt mit dem Radius

$$r - \frac{1}{\sqrt{2}} \sqrt{\ell_x} \cdot \sqrt{\beta_x}$$
.

Im Falle der Entkopplung ($\kappa = 1$) bekommen wir aus G1. (4.22) und (4.32)

$$F_{X}(1) = \epsilon_{X};$$
 $F_{Z}(1) = 0;$

d.h. die Strahlhöhe verschwindet. In Wirklichkeit tritt jedoch aufgrund der Gasstreuung eine geringe vertikale Strahlaufweitung auf:

$$G_{20}^{2} = \beta_{2} \cdot (\epsilon_{1})_{Gas}$$

die wir bei der Berechnung des Strahlquerschnitts (G1. (4.8) und (4.9)) vernachlässigt haben. Damit die G1n. (4.22) und (4.32) gültig bleiben, müssen wir demnach eine so starke Kopplung voraussetzen, daß

$$(4.33) F_z(x) >> (\varepsilon_i)_{G_{i,s}}$$

wird.

Die von den Raumladungskräften hervorgerufene, aufgrund der geringfügigen Strahldrehung θ (0) bzw. θ ($\frac{c}{2}$) verbleibende Kopplung, die durch die Größe ε_{xz} bzw. F_{xz} festgelegt wird, schätzen wir in Abschnitt V B) genauer ab. Zuvor soll die durch den Amman-Ritson-Effekt bedingte Q-Verschiebung ermittelt werden.

V. Amman-Ritson-Effekt bei Kopplung

A) Q-Verschiebung

Der Amman-Ritson-Effekt wird allgemein beschrieben durch die Gln. (2.15) und (2.16), die die Verschiebung des Arbeitspunktes aufgrund der Strahl-Strahl-Wechselwirkung bei beliebigem Drehwinkel θ angeben. Wie wir in Kap. IV gesehen haben, kann man im Resonanzfall (falls $Q_x - Q_z \approx 2m + 1$ gilt) näherungsweise θ = 0 setzen. Dann entsteht zunächst aus (2.15, 16), wenn noch die Beziehungen (3.6), (3.7) und (3.8) berücksichtigt werden:

$$\Delta Q_{I} = \frac{r_{e} \cdot N}{2n_{4} \cdot \lambda \cdot (c_{x} + c_{z})} \cdot \left\{ \frac{|v_{I1}|^{2}}{c_{x}} + \frac{|v_{I3}|^{2}}{c_{z}} \right\}$$

$$\Delta Q_{II} = \frac{r_{e} \cdot N}{2n_{4} \cdot \lambda \cdot (c_{x} + c_{z})} \cdot \left\{ \frac{|v_{I1}|^{2}}{c_{x}} + \frac{|v_{I3}|^{2}}{c_{z}} \right\}$$

$$\Delta Q_{II} = \frac{r_{e} \cdot N}{2n_{4} \cdot \lambda \cdot (c_{x} + c_{z})} \cdot \left\{ \frac{|v_{I1}|^{2}}{c_{x}} + \frac{|v_{I3}|^{2}}{c_{z}} \right\}$$

r_e = klassischer Elektronenradius;

9 = Bunchzahl;

N = Teilchenzahl

mit

$$|v_{I1}|^{2} = \beta_{x} \cdot \frac{2m\mu_{x}}{2m^{2}n d_{I}} \cdot \frac{\kappa+1}{2\kappa} \cdot \left\{ 1 + 2n \cdot \delta u \cdot (\kappa-1) \cdot T_{x} \right\};$$

$$|v_{I3}|^{2} - \beta_{z} \cdot \frac{2m\mu_{z}}{2m^{2}n d_{I}} \cdot \frac{\kappa-1}{2\kappa} \cdot \left\{ 1 + 2n \cdot \delta u \cdot (\kappa+1) \cdot T_{z} \right\};$$

$$|v_{II}|^{2} = \beta_{z} \cdot \frac{2m\mu_{z}}{2m^{2}n d_{I}} \cdot \frac{\kappa-1}{2\kappa} \cdot \left\{ 1 - 2n \cdot \delta u \cdot (\kappa+1) \cdot T_{x} \right\};$$

$$|v_{II}|^{2} = \beta_{z} \cdot \frac{2m\mu_{z}}{2m^{2}n d_{I}} \cdot \frac{\kappa-1}{2\kappa} \cdot \left\{ 1 - 2n \cdot \delta u \cdot (\kappa+1) \cdot T_{x} \right\};$$

wobei die Funktionen $T_{x}(s)$ und $T_{z}(s)$ aus G1. (4.5) zu entnehmen sind.

Die Gln. (5.1a, b) gelten bei Vorgabe der Größen \mathcal{C}_{x} und \mathcal{C}_{z} für beliebige Kopplungsstärken der Linse (x beliebig). Insbesondere ergeben sich aus (5.1a, b) für x = 1 die bekannten Beziehungen

(5.2)
$$\Delta Q_{\chi} = \frac{r_{e} \cdot N \cdot \beta_{\chi}}{2nq \cdot \gamma \cdot \epsilon_{\chi_{0}} (c_{\chi_{0}} + c_{\chi_{0}})} \approx \frac{r_{e} \cdot N}{2nq \cdot \gamma \cdot \epsilon_{\chi}};$$

$$\Delta Q_{\chi} = \frac{r_{e} \cdot N \cdot \beta_{\chi}}{2nq \cdot \gamma \cdot \epsilon_{\chi_{0}} (c_{\chi_{0}} + c_{\chi_{0}})} \approx \frac{r_{e} \cdot N \cdot \beta_{\chi}}{2nq \cdot \gamma \cdot \epsilon_{\chi_{0}}};$$

$$C_{\chi_{0}} = \text{halbe Strahlbreite}$$

$$C_{\chi_{0}} = \text{halbe Strahlbreite}$$
bei Entkopplung
$$C_{\chi_{0}} = \text{halbe Strahlhöhe}$$

der entkoppelten Maschine $(\sigma_{z_0} < < \sigma_{x_0})$.

Zur weiteren Auswertung dieser Gleichungen wollen wir wieder annehmen, daß die in (4.20) genannten Voraussetzungen erfüllt sind.

Durch Einsetzen von (4.21) in (5.1) erhält man dann

(5.3a)
$$\Delta Q_{I} = \frac{r_{e} \cdot N}{2 \operatorname{ng} \gamma \cdot (\sigma_{x} + \sigma_{2})} \cdot \left\{ \frac{\varkappa + 1}{2 \varkappa} \cdot \frac{\beta_{x}}{\sigma_{x}} + \frac{\varkappa - 1}{2 \varkappa} \cdot \frac{\beta_{z}}{\sigma_{z}} \right\}$$

$$= \frac{r_{e} \cdot N}{2 \operatorname{ng} \gamma \cdot (\sqrt{\beta_{x} F_{x}} + \sqrt{\beta_{z} F_{z}})} \cdot \left\{ \frac{\varkappa + 1}{2 \varkappa} \cdot \sqrt{\frac{\beta_{x}}{F_{x}}} + \frac{\varkappa - 1}{2 \varkappa} \cdot \sqrt{\frac{\beta_{x}}{F_{z}}} \right\}$$

$$\Delta Q_{E} = \frac{r_{e} \cdot N}{2 \operatorname{ng} \gamma \cdot (\sigma_{x} + \sigma_{z})} \cdot \left\{ \frac{\varkappa - 1}{2 \varkappa} \cdot \frac{\beta_{x}}{\sigma_{x}} + \frac{\varkappa + 1}{2 \varkappa} \cdot \frac{\beta_{x}}{\sigma_{z}} \right\}$$

$$= \frac{r_{e} \cdot N}{2 \operatorname{ng} \gamma \cdot (\sqrt{\beta_{x} F_{x}} + \sqrt{\beta_{x} F_{x}})} \cdot \left\{ \frac{\varkappa - 1}{2 \varkappa} \cdot \sqrt{\frac{\beta_{x}}{F_{x}}} + \frac{\varkappa + 1}{2 \varkappa} \cdot \sqrt{\frac{\beta_{x}}{F_{z}}} \right\}$$

mit den in Gl. (4.22) bzw. (4.32) angegebenen Funktionen F_1 (μ) und F_2 (χ).

In dem Sonderfall

wird daraus nach (4,32)

$$\Delta Q_{I} = \Delta Q_{x} \cdot \frac{\varkappa}{\sqrt{\beta_{x}} \cdot \sqrt{\varkappa^{1} + 1} + \sqrt{\beta_{x}} \cdot \sqrt{\varkappa^{1} - 1}} \times \left\{ \sqrt{\beta_{x}} \cdot \frac{\varkappa + 1}{\sqrt{\varkappa^{1} + 1}} + \sqrt{\beta_{x}} \cdot \frac{\varkappa - 1}{\sqrt{\varkappa^{1} - 1}} \right\}$$
(5.4a)

$$\Delta Q_{E} = \Delta Q_{x} \cdot \frac{\varkappa}{\sqrt{\beta_{x}^{2} + 1} + \sqrt{\beta_{z}^{2}} \sqrt{\varkappa^{2} - 1}} \times \left\{ \sqrt{\beta_{x}^{2} + \frac{\varkappa}{\sqrt{\varkappa^{2} + 1}}} + \sqrt{\beta_{z}^{2}} \cdot \frac{\varkappa + 1}{\sqrt{\varkappa^{2} - 1}} \right\}$$
(5.4b)

Dabei ist die Bedingung (4.33) zu beachten, die die Gültigkeit der Gln. (5.3) und (5.4) auf solche \varkappa -Werte beschränkt, für die

wird.

Aus diesen Gleichungen geht aber hervor, daß mit Einschaltung der Kopplung ein Ausgleich der Raumladungskräfte stattfindet, wie in der Einleitung behauptet wurde, da sich die Größen ΔQ_{II} mit wachsender Kopplungsstärke einander nähern und für \varkappa^{\prime} >> 1 gleich groß werden.

Der Faktor, um den die Luminositätsgrenze des Amman-Ritson-Effektes bei dieser neuen (günstigeren) Verteilung der Raumladungskräfte angehoben wird, ist dabei gegeben durch das Verhältnis

und errechnet sich für den Fall

nach (5.2) und (5.4) zu

$$\frac{\Delta Q_{2}}{\Delta Q_{T}} = \frac{G_{20}}{G_{20}} \cdot \frac{\beta_{2}}{\beta_{3}} \cdot \frac{\sqrt{\beta_{3}} \sqrt{\kappa^{2}+1} + \sqrt{\beta_{2}} \sqrt{\kappa^{2}-1}}{\kappa}$$

$$\times \frac{\sqrt{\kappa^{4}-1}}{\sqrt{\beta_{3}} \cdot (\kappa-1) \sqrt{\kappa^{2}-1} + \sqrt{\beta_{3}} \cdot (\kappa+1) \sqrt{\kappa^{2}+1}}.$$

Zahlenbeispiel:

L = 0,60 m (Linsenlänge)

k = 0.015 m⁻¹ (Linsenstärke)

$$\beta_{\lambda}(s_{L}) = 11,24 m$$

$$\beta_{\lambda}(s_{L}) = 32,35 m$$

$$\Rightarrow \delta = k L = 0.007 m-1$$

$$\sqrt{\beta_{\lambda}(s_{L})\beta_{\lambda}(s_{L})} = 14,07 m$$

$$\Delta = \delta \cdot \sqrt{\beta_{\lambda}(s_{L})\beta_{\lambda}(s_{L})} = 0.172$$

$$2n \cdot \delta \Delta = 0,1 \Rightarrow k \approx 2$$

$$\sigma_{\lambda}^{2} = \epsilon_{\lambda} \beta_{\lambda} \cdot \frac{5}{3}, \quad c_{\lambda} = 0.79 \sqrt{\epsilon_{\lambda}\beta_{\lambda}}$$

$$\sigma_{\lambda}^{2} = \epsilon_{\lambda} \beta_{\lambda} \cdot \frac{3}{8}, \quad c_{\lambda} = 0.61 \cdot \sqrt{\epsilon_{\lambda}\beta_{\lambda}}$$

$$\Delta \alpha_{L} = \Delta \theta_{\lambda} \cdot 0.97;$$

$$\Delta \Omega_{L} = \Delta \theta_{\lambda} \cdot 1.10;$$

Die Differenz (Δ Q $_{\mbox{\sc r}}$ - Δ Q $_{\mbox{\sc r}}$) beträgt nur noch

Die Luminositätsgrenze wird um den Faktor

$$\frac{\Delta Q_2}{\Delta Q_{TI}} = \sigma_1 q \cdot \frac{\sigma_{xo}}{\sigma_{xo}}$$

angehoben.

Bei diesen Betrachtungen haben wir jedoch noch nicht die Forderung (IV) in Abschnitt IV B.) für die von den Raumladungskräften herrührende Kopplung berücksichtigt, die neben der Bedingung

eine zusätzliche Einschränkung für die Luminositätsgrenze liefert, mit der wir uns im folgenden Abschnitt befassen wollen.

B) Abschätzung der von den Raumladungskräften herrührenden Kopplung

In Abschnitt IV B) wurde bereits erwähnt, daß die Raumladungskräfte eines gedrehten Strahls in linearer Näherung wie eine dünne Linse wirken, die um denselben Winkel wie der Strahl gedreht ist und somit ebenfalls eine Kopplung liefert, welche sich der von der eingebauten Linse herrührenden Kopplung übertlagert. Mathematisch kann die Linsenwirkung der Raumladungskräfte beschrieben werden durch die Übertragungsmatrix

mit dem Kopplungsglied

$$(5.7) \qquad \qquad \delta_{\mathbf{w}} = (h_1 - h_2) \ 2m \ 20$$

und der Kopplungsstärke

(5.8)
$$\Delta_{W} = \delta_{W} \cdot \sqrt{\beta_{x}(s_{W})\beta_{x}(s_{W})};$$

$$(s_{W} = \overline{\sigma}, \frac{\overline{c}}{2}, \chi_{reuzungspankte});$$

wobei die Größen h, und h, sowie der Drehwinkel θ aus den Gln. (2.12) - (2.16) entnommen werden können.

Damit der Strahl durch dieses Kopplungsglied nicht wesentlich gestört wird, muß man verlangen, daß

(5.9)
$$\Delta_{W}^{2} = \min_{\mu_{2}} \min_{\mu_{X}} \times \times \left(\cos \mu_{X} - \cos \mu_{2} \right)^{L}$$

oder im Resonanzfall

$$\Delta_{W}^{2} << |\chi_{n}, \chi_{\ell}|^{2}$$

wird, weil dann die Größe

(5.11)
$$x_{w} = \sqrt{1 + \frac{\Delta_{w}^{2} \cdot 2m\mu_{x} \cdot 2m\mu_{z}}{(\omega_{x} + \omega_{x})^{2}}},$$

die nach Gl. (3.11) und (4.8) ein Maß für die Auswirkung der Kopplung auf den Strahl darstellt, nicht wesentlich vom Werte labweicht, den κ für verschwindende Kopplung annimmt.

Durch Einsetzen von (2.14) und (2.16) in G1. (5.7) erhält man nun unter Berücksichtigung von (2.12)

$$(5.12) \quad |\Delta_{W}| = \sqrt{\beta_{x}(s_{W})\beta_{z}(s_{W})} - \frac{1}{\sigma_{x}\sigma_{z}} \cdot \frac{2 \cdot |\sigma_{xx}|}{(\sigma_{x} + \sigma_{z})^{2}} \cdot \frac{2 + \epsilon N}{q_{z}}.$$

Weiterhin gilt unter den in (4.20) genannten Annahmen mit

nach G1. (5.3b), wenn wir noch von der für den DESY-Speicherring gültigen Beziehung

$$(5.13) \beta_{\kappa} (s_{W}) = \beta_{\varepsilon} (s_{W})$$

Gebrauch machen:

$$\Delta Q_{II} \approx \frac{r_e \cdot N}{2 n q \gamma \cdot (c_1 + c_2)} \cdot \beta_x \cdot \left(\frac{x - 1}{2x} \cdot \frac{1}{c_1} + \frac{x + 1}{2x} \cdot \frac{1}{c_2}\right)$$

$$= \frac{r_e \cdot N}{2 n q \gamma \cdot (c_1 + c_2)} \cdot \beta_x \cdot \frac{x (c_1 + c_2) + (c_1 - c_2)}{2x \cdot c_1 c_2}$$

$$\geq \frac{r_e \cdot N}{4 n q \gamma} \cdot \beta_x \cdot \frac{1}{c_1 c_2} \cdot \beta_x$$
(5.14)

so daß wir anstelle von (5.13) schreiben können

(5.15)
$$| \Lambda_{W} | \approx 8\pi \cdot \Lambda \hat{Q}_{\Pi} \cdot \frac{2 \cdot |c_{x,x}|}{(c_{x} + c_{x})^{2}} = 8\pi \cdot \Lambda \hat{Q}_{\Pi} \cdot \frac{2 \cdot |F_{x,x}|}{(\sqrt{F_{x}} + \sqrt{F_{x}})^{2}}.$$

Mit dem durch G1. (4.22) u. (4.32) gegebenen Strahlquerschnitt (wir beschränken uns wieder auf den Fall $|R_x|$, $|R_y| \ll \langle K^2 \rangle$) entsteht daraus

$$|\Delta_{M}| \leq 8\pi \cdot \Delta Q_{\widetilde{L}} \cdot \pi \cdot |\delta Q| \cdot |(M_{XZ}^{(4)} + M_{XZ}^{(2)})|;$$

$$|M_{XZ}^{(1)}| = -(-1)^{m} \cdot \frac{1}{4} - \frac{1}{2m M_{X}} \cdot 2m \left[\varphi_{X}(s) - \varphi_{X}(s_{L}) \right] \cdot 2m \left[\varphi_{Z}(s) - \varphi_{Z}(s_{L}) \right];$$

$$M_{xz}^{(2)} = 2 \cos \left[\varphi_x(s) - \varphi_x(s_L) \right] \sin \left[\varphi_z(s) - \varphi_z(s_L) \right].$$

Dabei gilt

$$\left(M_{xx}^{(n)}\right)_{x=0} = \left(M_{xx}^{(n)}\right)_{x=\frac{C}{2}} ;$$

$$\left(M_{xx}^{(2)}\right)_{x=0} = -\left(M_{xx}^{(2)}\right)_{x=\frac{C}{2}} .$$

Im Hinblick auf eine möglichst schwache Störung denken wur uns nun den Arbeitspunkt ($\mathbf{Q_x}$, $\mathbf{Q_z}$) so eingestellt, daß

am ersten Kreuzungspunkt (bei s = 0 oder auch bei s = $\frac{C}{2}$) verschwindet und somit eine Kopplung durch Raumladungskräfte nur in der zweiten Wechselwirkungszone auftritt. Für den DESY-Speicherring ergibt sich dann

$$Q_{x} \approx 9,23$$
;
 $Q_{z} \approx 4,23$;
 $\left[\left(M_{xz}^{(1)} + M_{xz}^{(2)}\right)\right] \approx 0,5$

und für ∆ w aus Gl. (5.15) wird

$$|\Delta_{\mathbf{w}}|_{s=0} \lesssim 8\pi \cdot |\Delta Q_{\mathbf{H}}| \cdot |0.5 \cdot n| \cdot |\delta \Delta |,$$

$$|\Delta_{\mathbf{w}}|_{s=\frac{c}{2}} \approx 0.$$

Bedenken wir noch, daß 4 $\mathcal{Q}_{\overline{L}}$ maximal den Wert 0,025 annehmen kann, so erhalten wir schließlich

Die Bedingung (5.10) ist also erfüllt, und die durch Raumladungskräfte verursachte Kopplung der Betatronschwingungen kann selbst an der Luminositätsgrenze des Amman-Ritson-Effektes vernachlässigt werden.

VI. Strahlaufweitung durch Verschiebung der Dämpfungskonstanten

A) Die Dämpfungskonstanten für Synchrotron- und Betatronschwingung

In Kap. IV. und V. wurde gezeigt, daß durch Kopplung allein lediglich die Strahlhöhe vergrößert wird (wenn ohne Kopplung $\mathfrak{C}_{k} > \mathfrak{C}_{k}$ ist), während sich der Strahl in horizontaler Richtung zusammenzieht. Die vertikale Strahlaufweitung durch Kopplung erfolgt also auf Kosten der Strahlbreite. Bei genügend starker Kopplung ($\mathfrak{R}' >> 1$) verkleinert sich die horizontale Strahlausdehnung nach Gl. (4.21) u. (4.32) um den Faktor $\frac{1}{\sqrt{2}}$, und der Strahlquerschnitt selbst nimmt in der Wechselwirkungszone (falls $\mathfrak{F}_{k} : \mathfrak{F}_{k}$ gilt) nahezu Kreisform an.

Nun wurde schon in der Einleitung erwähnt, daß im Anschluß an die Kopplung der Betatronschwingungen eine weitere Strahlaufweitung, die in x- und z-Richtung gleichzeitig (bei Entkopplung dagegen in x-Richtung allein) auftritt, durch Dämpfung der Synchrotron- und Entdämpfung der Betatronschwingungen erzielt werden kann. Insbesondere ist man auf diese Weise in der Lage, die Strahlbreite auf ihren ursprünglichen Wert (bei Entkopplung) zurückzubringen.

Für den Fall, daß die Betatronschwingungen mit Hilfe eines gedrehten Quadrupols gekoppelt werden, sind die Dämpfungskonstanten α_i , α_I und α_{II} gegeben durch G1. (2.3) u. (4.1). Anhand dieser Gleichungen bestätigt man leicht die von K.W. Robinson in allgemeiner Form bewiesene Beziehung

(6.1)
$$d_s + d_{\overline{1}} + d_{\overline{\overline{1}}} = 2 - \frac{\overline{\overline{\nu}}}{F},$$

aus der ersichtlich ist, daß Dämpfung der Synchrotron- und Entdämpfung der Betatronschwingung (oder umgekehrt Dämpfung der Betatron- und Entdämpfung der Synchrotronschwingung) sich gegenseitig bedingen.

Für den DESY-Speicherring gilt noch

$$(6.2) | H_z | << |H_v|$$

so daß wir anstelle von (2.3) u. (4.1) schreiben können:

(6.3a)
$$\mathcal{L}_{s} = \frac{\overline{W}}{F_{s} \left(\chi^{2} \right)} \left\{ \left\langle \chi^{2} \right\rangle + \frac{1}{2} F_{\chi} \right\} :$$

(6.3b)
$$\mathcal{L}_{\mathbf{I}} = \frac{\overline{V}}{\langle E, \langle \chi^2 \rangle} + \left\{ \langle \chi^2 \rangle - \frac{\chi_{+,+}}{\langle \chi^2 \rangle} F_{+,+} \right\}$$

(6.3c)
$$\mathcal{L}_{\mathbb{I}} = \frac{\overline{V}}{2 E \cdot \langle \chi^{i} \rangle} \cdot \left\{ \langle \chi^{i} \rangle - \frac{\kappa - 1}{2 \kappa} \Pi_{\kappa} \right\}.$$

Eine Verschiebung der Dämpfungskonstanten im Sinne einer Aufweitung des Strahls bedeutet also, daß die von der Maschinenstruktur abhängige Konstante

$$H_{x} = \left\langle \chi_{x}^{3} \left(1 - 2 \eta_{x} \right) D_{x} \right\rangle$$

vergrößert wird. Eine solche Änderung von A kann man mit Hilfe eines FODO-Kanals erreichen $^{(1)}$.

B) Berechnung des Strahlquerschnitts

Um nun den neuen Strahlquerschnitt zu berechnen, der sich bei Entdämpfung der Betatronschwingungen einstellt, brauchen wir lediglich zu untersuchen, wie die Größen \mathcal{C}_{κ} , \mathcal{C}_{k} und $\mathcal{C}_{\kappa k}$, die die Strahlausdehnung bestimmen, von der Konstanten \mathbf{A}_{κ} abhängen.

Zu dem Zweck bedenken wir, daß das Produkt

(6.4)
$$\mathcal{E}_{X,0} = : \quad \mathcal{E}_{X} \frac{\langle \mathcal{K}^{2} \rangle - \mathcal{H}_{X}}{\langle \mathcal{K}^{2} \rangle} \\
= \frac{\langle |\mathcal{K}_{X}|^{3} \cdot \left(|\mathcal{D}_{X}^{2} \cdot \frac{1 + \chi_{X}^{2}}{\beta_{X}} + |2| \mathcal{D}_{X}|\mathcal{D}_{X}^{3} \cdot \chi_{X} + |\mathcal{D}_{X}^{12} \cdot \beta_{X}| \right)}{\langle \mathcal{K}^{2} \rangle}$$

unabhängig ist von A_y, da der Faktor

nach G1. (4.7) gegen den Nenner von \mathcal{E}_{λ} gekürzt werden kann, und infolgedessen die durch (6.4) definierte Größe \mathcal{E}_{ℓ_0} bei einer Verschiebung der Dämpfungskonstanten \mathcal{E}_{κ_0} unverändert bleibt.

Somit können wir nach G1. (4.21) u. (4.22) unter Berücksichtigung (6.2) schreiben:

(6.4a)
$$\begin{aligned}
& \mathcal{E}_{x}^{2} - \beta_{x} \, \mathcal{E}_{xo} \cdot \left\{ \frac{(x+1)^{2}}{4x^{2}} \cdot \frac{\langle k^{2} \rangle}{\langle x^{2} \rangle - \frac{x+1}{2x} \, \mathcal{H}_{x}} + \frac{\langle k^{2} \rangle}{\langle k^{2} \rangle - \frac{x-1}{2x} \, \mathcal{H}_{x}} \right\} \\
& + \frac{(x-1)^{2}}{4x^{2}} \cdot \frac{\langle k^{2} \rangle}{\langle k^{2} \rangle - \frac{x-1}{2x} \, \mathcal{H}_{x}} \right\} \\
& (6.4b) \qquad \mathcal{E}_{z}^{2} = \beta_{z} \, \mathcal{E}_{xo} \cdot \frac{x^{2}-1}{4x^{2}} \left\{ \frac{\langle k^{2} \rangle}{\langle k^{2} \rangle - \frac{x+1}{2x} \, \mathcal{H}_{x}} + \frac{\langle k^{2} \rangle}{\langle k^{2} \rangle - \frac{x-1}{2x} \, \mathcal{H}_{x}} \right\} ;
\end{aligned}$$

mit

$$\left(M_{xz}^{(1)} \right)_{3 = 0} = \left(M_{xz}^{(1)} \right)_{3 = \frac{C}{\lambda}};$$

$$\left(M_{xz}^{(2)} \right)_{3 = 0} = -\left(M_{xz}^{(1)} \right)_{5 = \frac{C}{\lambda}};$$

x con [4, (5) - 4x(5,1]. 2m [42(5) - 4x(5,1]

Die Abhängigkeit des Strahlquerschnitts von dem Parameter A_{χ} , der auch die Größe der Dämpfungskonstanten bestimmt, ist also gekennzeichnet durch die Faktoren

$$\frac{\langle \chi^2 \rangle}{\langle \chi^2 \rangle - \frac{\chi + 1}{2\kappa} \, \beta_{\chi}} \quad \text{and} \quad \frac{\langle \chi^2 \rangle}{\langle \chi^2 \rangle - \frac{\chi - 1}{2\kappa} \, \beta_{\chi}}.$$

Für * >> 1 erhalten wir dort jedoch wieder nahezu einen kreisförmigen Strahlquerschnitt mit dem Radius

(6.5)
$$r = \frac{1}{\sqrt{2}} \beta_x \epsilon_{xv} \cdot \sqrt{\frac{\langle x^2 \rangle}{\langle x^2 \rangle - \frac{1}{2} \beta_z}}$$

sofern die in (4.20) genannten Voraussetzungen bestehen bleiben.

Soll bei vorgegebener Kopplungsstärke Δ für die halbe Strahlbreite $\sigma_{\rm x}$, die nach Einschaltung der Kopplung allein zusammenschrumpft, wieder der ursprüngliche Wert

$$\sqrt{\beta_x} \sqrt{\epsilon_{x0}}$$

eingestellt werden, so muß nach Gl. (6.4a) die Beziehung

$$\frac{(x+1)^{2}}{4x^{2}} \cdot \frac{\langle x^{2} \rangle}{\langle x^{2} \rangle - \frac{x+1}{2x} \Pi_{x}} + \frac{(x-1)^{2}}{4x^{2}} \cdot \frac{\langle x^{2} \rangle}{\langle x^{2} \rangle - \frac{x-1}{2x} \Pi_{x}} = 1$$

gelten, aus der sich A_{x} zu

(6.6)
$$\pi_{\lambda} = \langle \chi^{2} \rangle \cdot \left\{ \frac{1}{2} \cdot \frac{3 \, \chi^{2} + 1}{\chi^{2} - 1} - \frac{1}{2} \sqrt{\left(\frac{3 \, \chi^{2} + 1}{\chi^{2} - 1}\right)^{2} - 8} \right\}$$

errechnet.

C) Q-Verschiebung

Um die von den Raumladungskräften verursachte Q-Verschiebung zu berechnen, welche sich nach der zusätzlichen Strahlaufweitung bei Entdämpfung der Betatronschwingungen einstellt, können wir auf Gl. (5.3) zurückgreifen, falls die in (4.20) angegebenen Annahmen zutreffen. Dabei sind die in (5.3) auftretenden Größen $\mathbf{G}_{\mathbf{z}}$ und $\mathbf{G}_{\mathbf{z}}$ aus Gl. (6.4) zu entnehmen. Da die Strahlausdehnung bei der Verschiebung der Dämpfungskonstanten vergrößert wird, tritt nochmals eine Anhebung der Luminositätsgrenze auf.

Neben G1. (5.3) bleibt auch die Beziehung (5.15) bestehen, die eine obere Schranke für die zulässige, von der Strahl-Strahl-Wechselwirkung herrührende Kopplungsstärke angibt.

Um diese durch eine Drehung des Strahls bedingte Kopplung möglichst klein zu halten, ist es wiederum zweckmäßig, die Q-Werte $Q_{_{\rm X}}$ und $Q_{_{\rm Z}}$ so zu wählen, daß

$$\left(M_{x2}^{(1)} + M_{x2}^{(2)}\right)_{S=\frac{C}{2}} = 0$$

wird und somit $\Delta_{\mathbf{W}}$ am Kreuzungspunkt $\mathbf{s} : \frac{\mathbf{C}}{2}$ verschwindet.

Setzen wir dann

so liefert Gl. (5.3) eine Abschätzung für den Faktor ∡ sowie für die größtmögliche Q-Verschiebung

bei der der Strahl noch stabil bleibt, und die zum Amman-Ritson-Effekt gehörende äußerste Luminositätsgrenze mit

kann nur erreicht werden, wenn die Beziehung (5.3) mit de 1 erfüllbar ist.

Zahlenbeispiel:

Wir setzen wiederum * - 1.

Um wieder den ursprünglichen Wert

$$\sigma_{x} = \sqrt{\varepsilon_{x,a}} \cdot \sqrt{\beta_{x}}$$

der Strahlbreite zu erreichen, muß dann nach Gl. (6.6)

gewählt werden.

Damit ergeben sich die zugehörigen Dämpfungskonstenten nach (6.3) zu

$$\alpha_{f} = \frac{5}{4} \cdot \frac{\overline{V}}{E};$$

$$\alpha_{f} = \frac{5}{16} \cdot \frac{\overline{W}}{E};$$

$$\alpha_{f} = \frac{7}{14} \cdot \frac{\overline{W}}{E}.$$

Für die halbe Strahlhöhe erhalten wir aus (Gl. (6.4b)

 $G_{k} = 0.42 \cdot G_{k}$.

A verschwindet am Kreuzungspunkt s • $\frac{C}{2}$, wenn $Q_{k} \approx 9,23$

$$Q_{\chi} \approx 9, 23$$

gesetzt wird.

Der in (5.15) auftretende Faktor

$$\frac{2 \cdot |\sigma_{xx}|}{(\sigma_x + \sigma_x)^2}$$

nimmt dann bei $s = \frac{C}{2}$ den Wert

$$\frac{2 - |G_{i+1}|}{(G_{i+1} + G_{i+1})^2} \approx |G_{i} \cdot S_{i+1}| \cdot |S_{i+1}|$$

an, so daß die Bedingung (5.15) als erfüllt angesehen werden kann.

Schließlich ergibt sich aus (5.3), daß die Luminositätsgrenze insgesamt um den Faktor

$$\frac{\Delta Q_{II}}{\Delta Q_{2}} = \frac{G_{XO}}{G_{2O}} \cdot 1.25$$

angehoben wird.

Die Luminosität steigt also bei Entdämpfung der Betatronschwingungen nochmals um 40 % gegenüber ihrem Wert bei Kopplung allein (vgl. Abschnitt V A.))

Für Anregungen und fördernde Diskussionen möchte ich Herrn Dr. A. Piwinski und Herrn Dr. H. Wiedemann recht herzlich danken.

Literatur:

- (I) K. G. Steffen H. Wiedemann: A FODO-Channel for continuously varying the radiation damping in an electron synchrotron (in Vorbereitung)
- (2) G. Leleux: Orsay, Technischer Bericht 14-64 GL-FB
- (3) A. Piwinski: Strahlparameter bei Kopplungen, horizontaler und vertikaler Krümmung und Raumladungseffekt (Interner Bericht)
- (4) G. Ripken: Untersuchungen zur Strahlführung und Stabilität der Teilchenbewegung in Beschleunigern und Storage-Ringen unter strenger Berücksichtigung einer Kopplung der Betatronschwingungen (DESY RI-70/4).
- (5) A. Piwinski: Private Mitteilung (wird veröffentlicht)